

FIG. IA

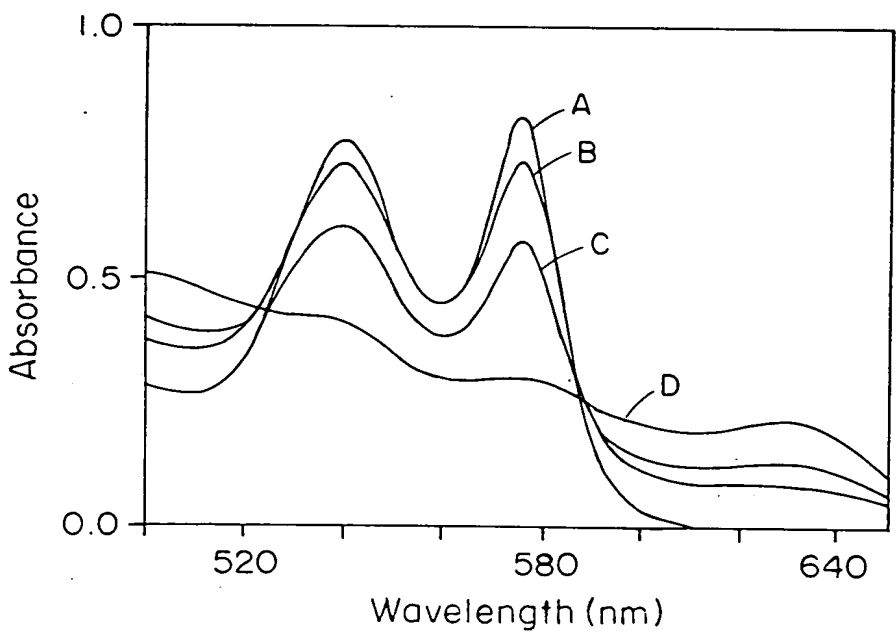


FIG. IB

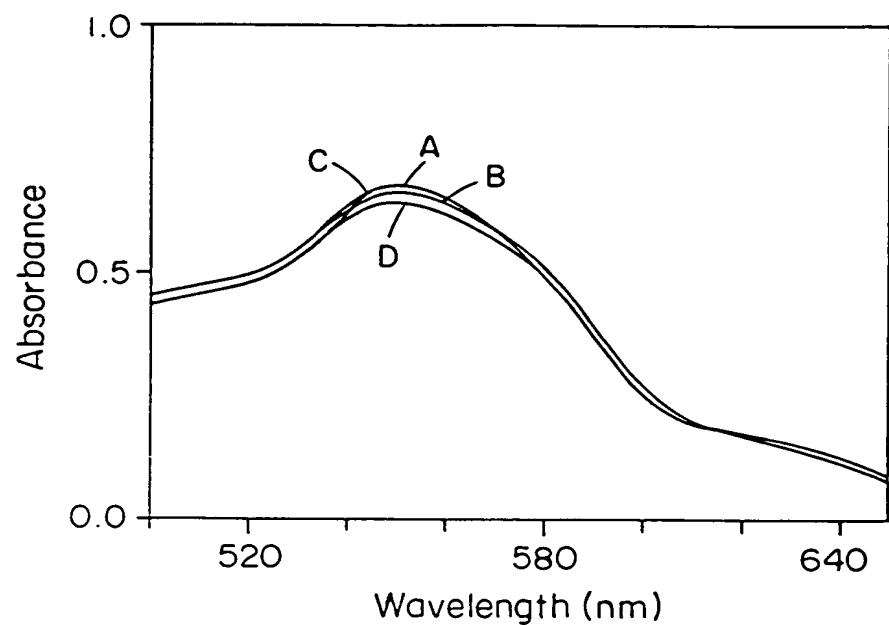


FIG. IC

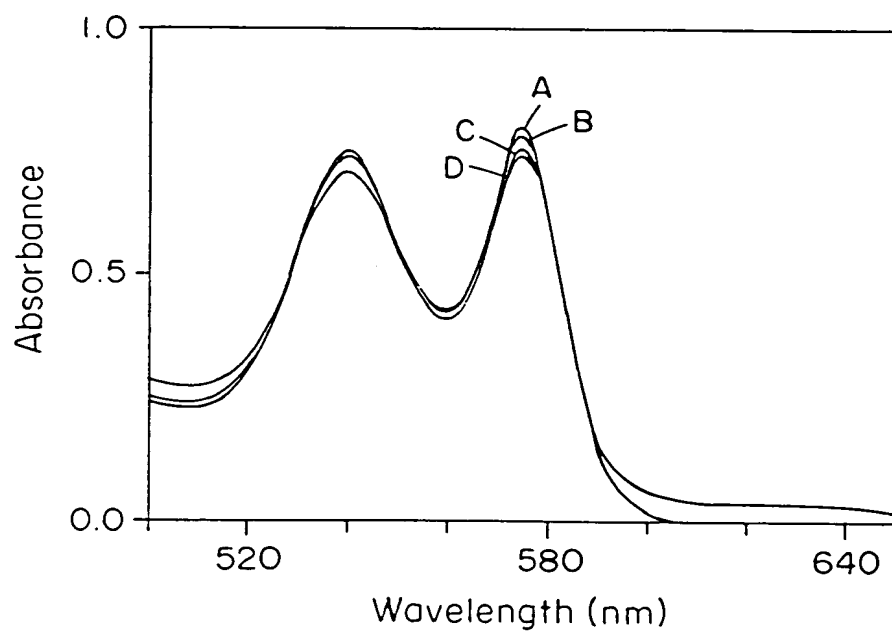


FIG. ID

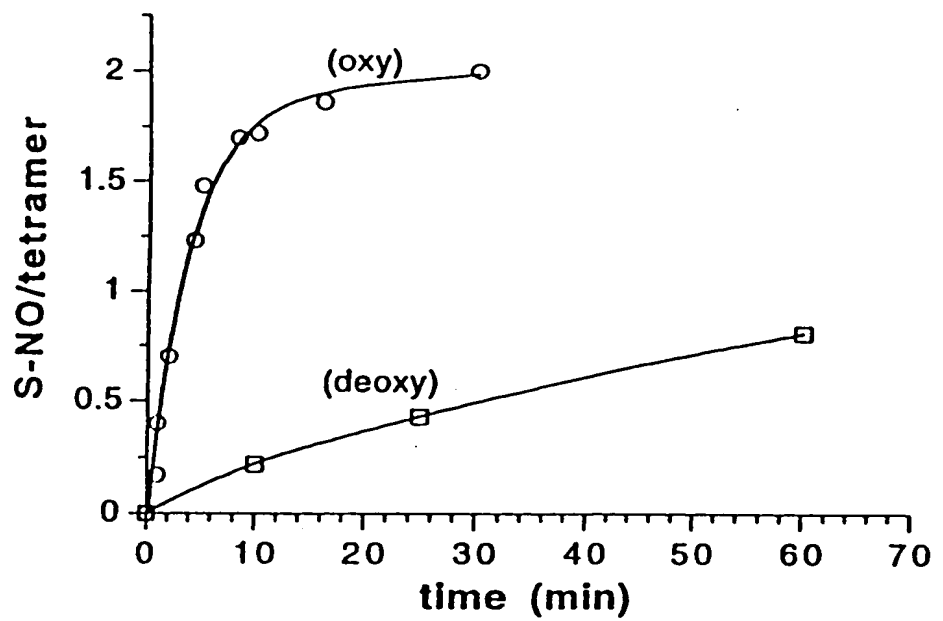


FIG. 2A

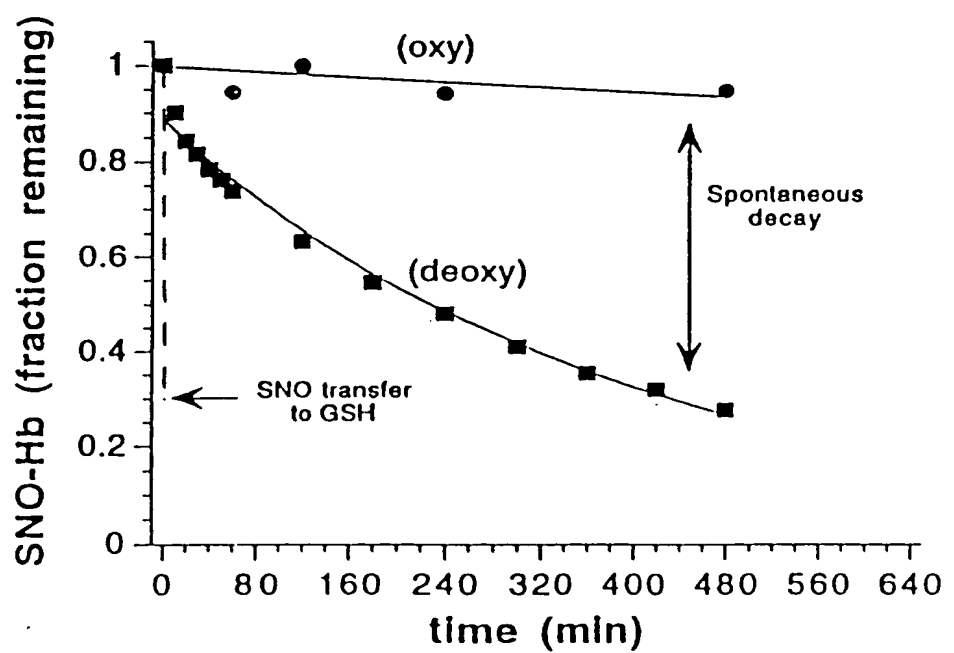


FIG. 2B

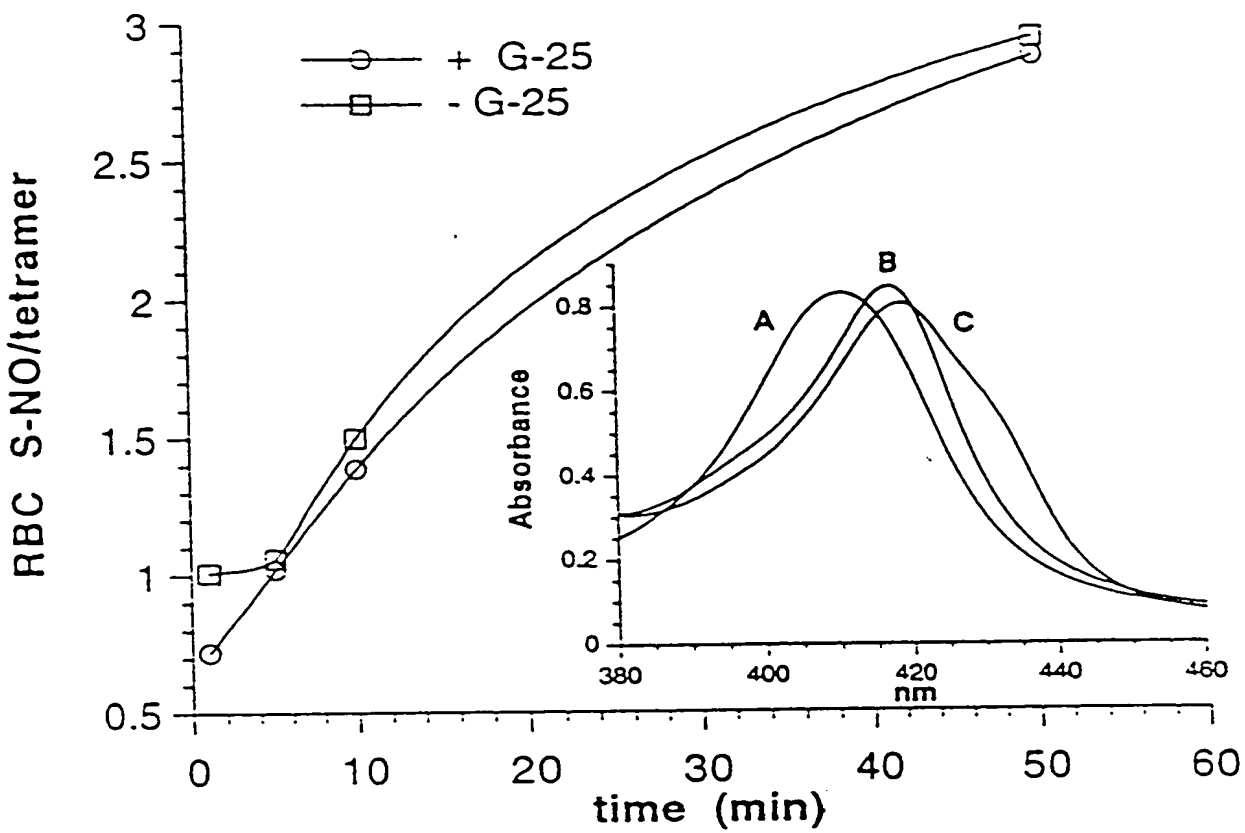


FIG. 3A

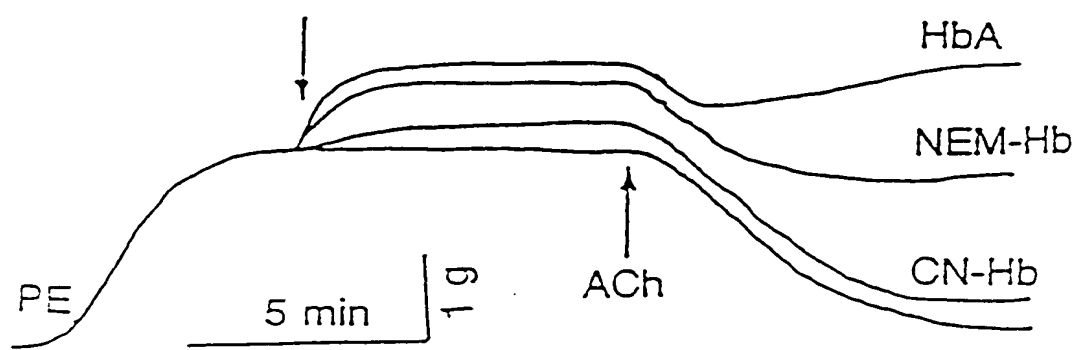


FIG. 3B

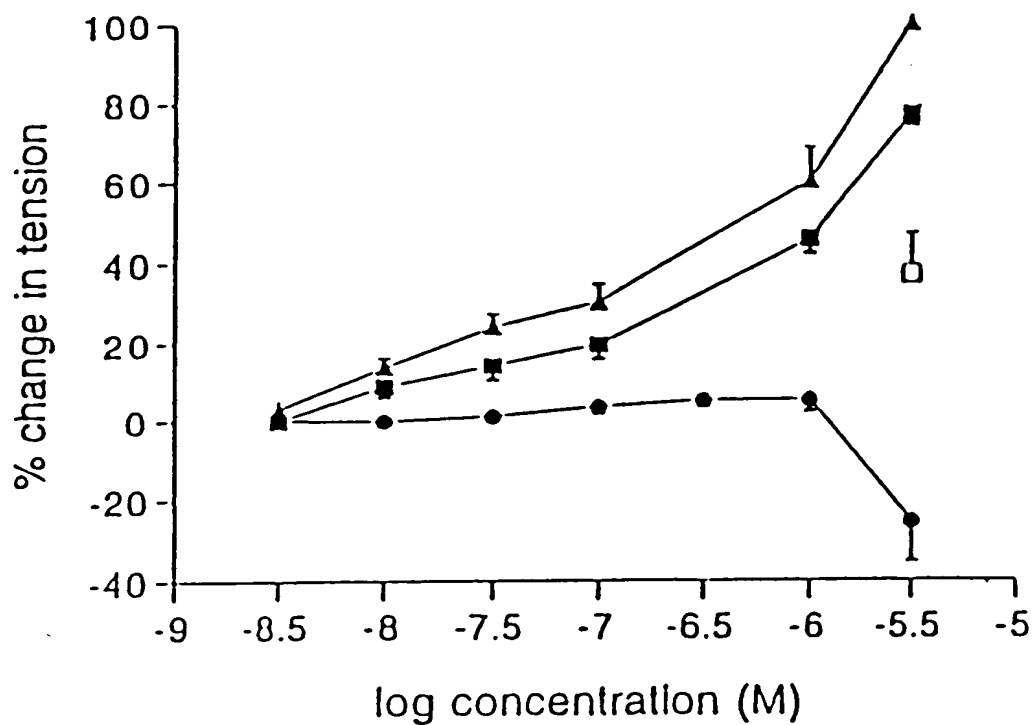


FIG. 4A

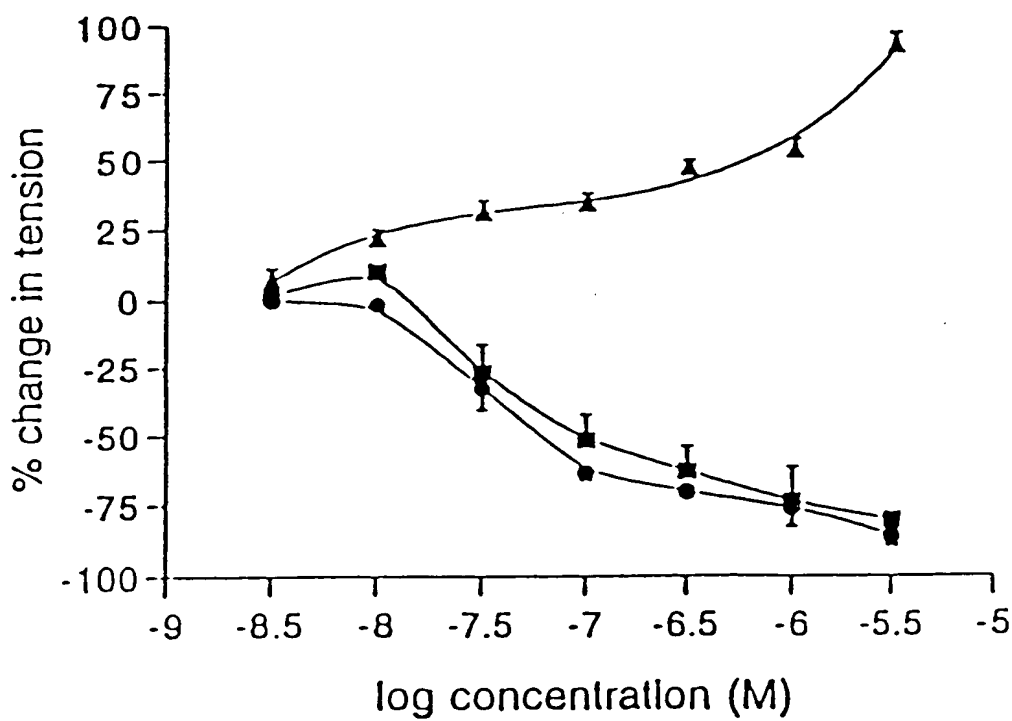


FIG. 4B

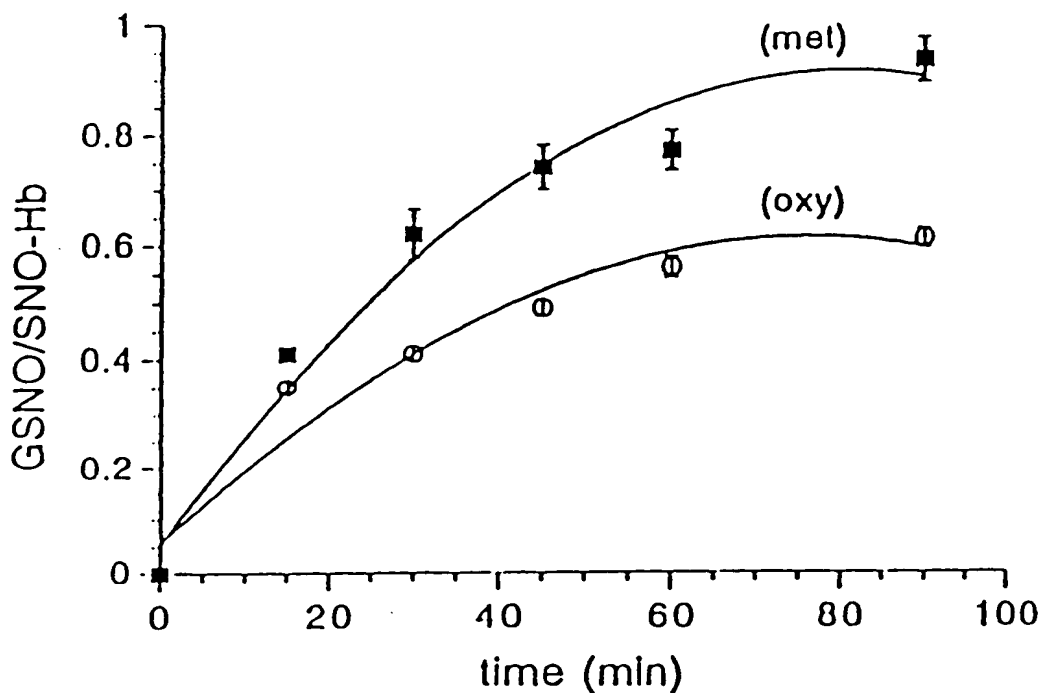


FIG. 4C

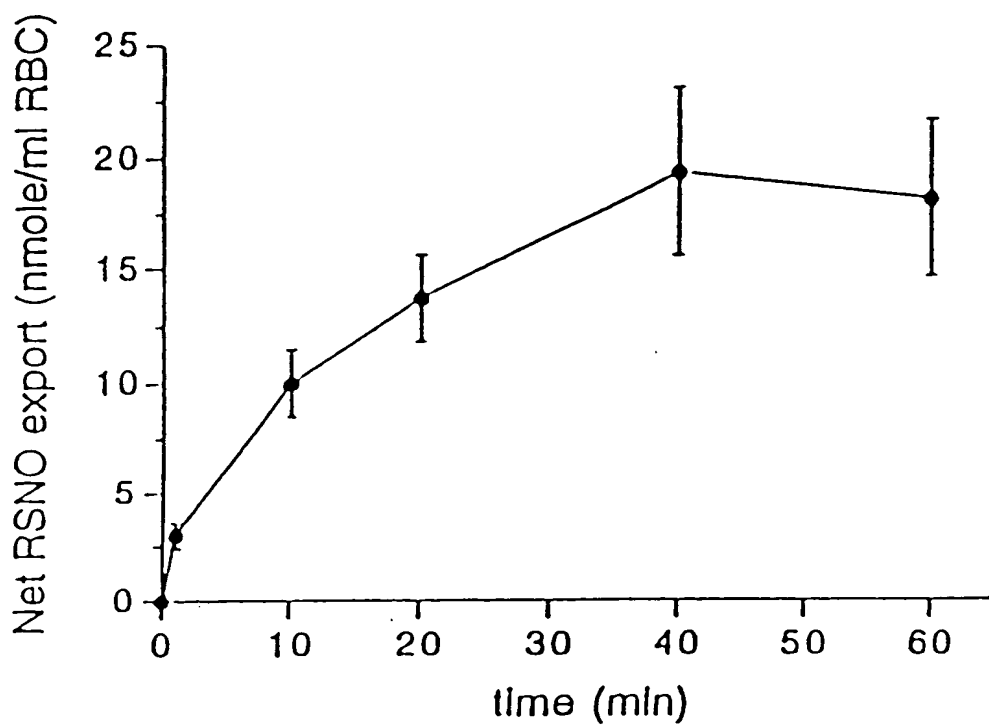


FIG. 4D

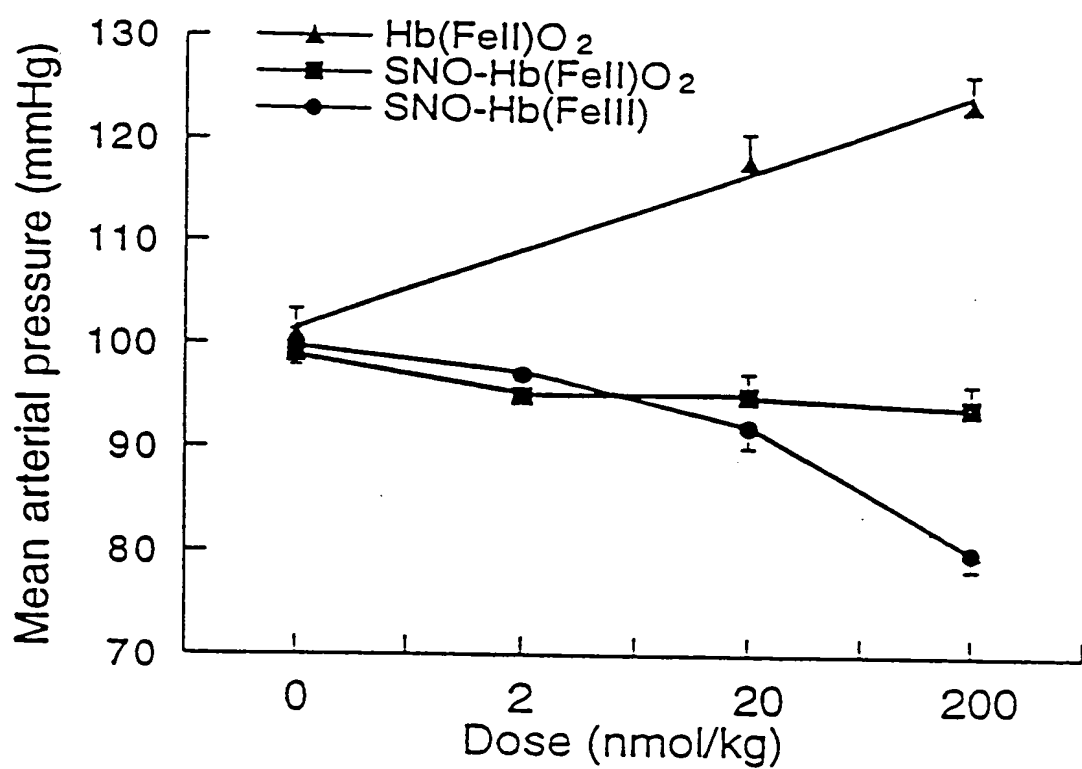
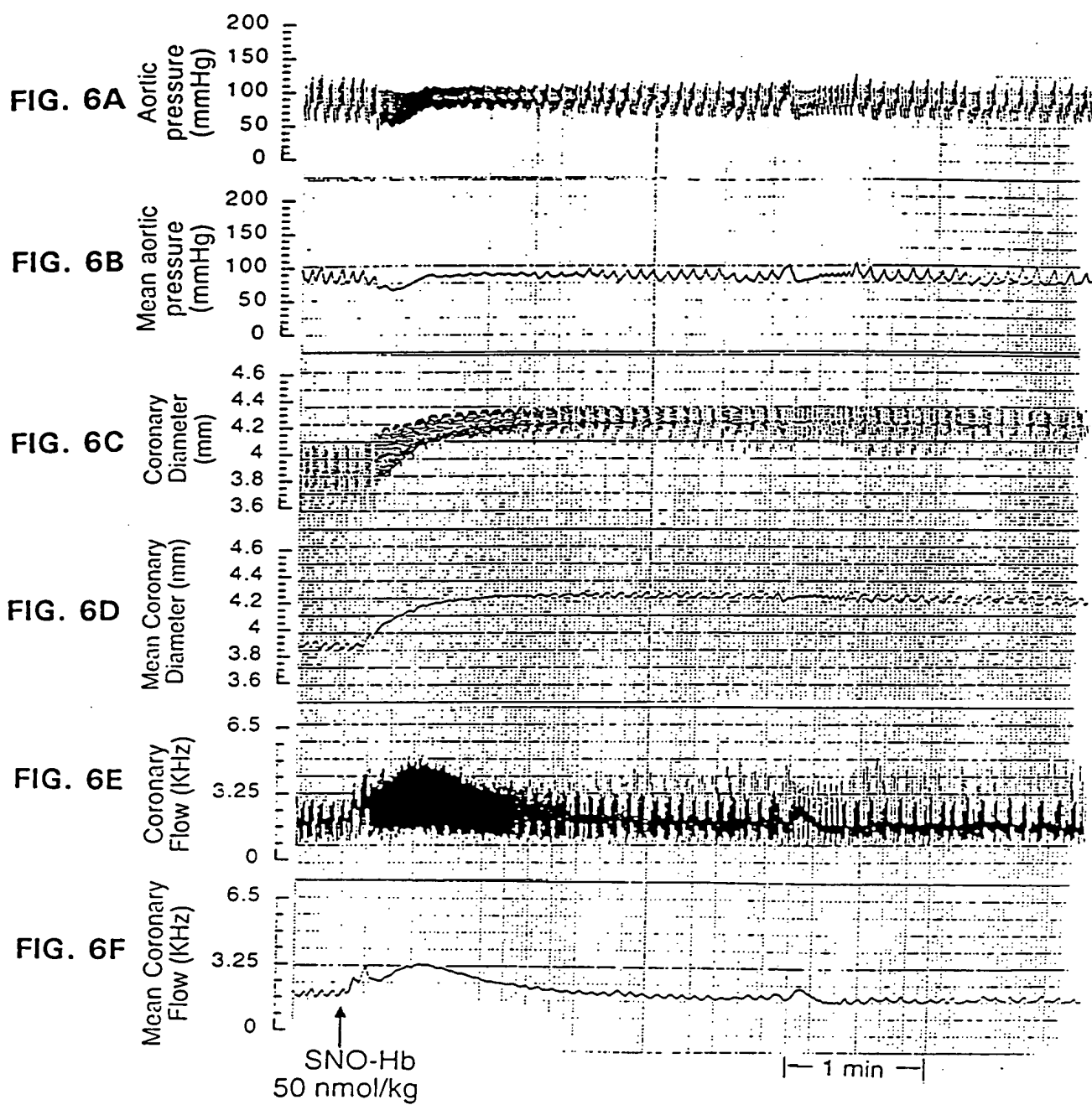


FIG. 5



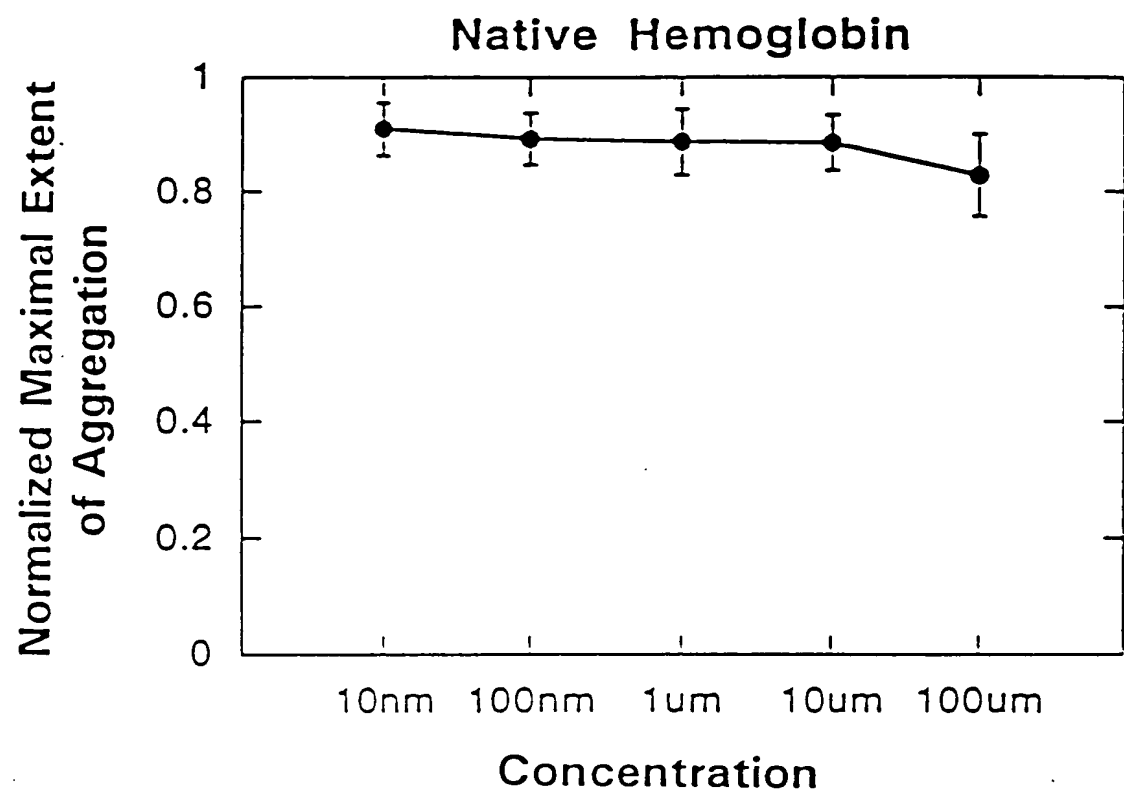


FIG. 7A

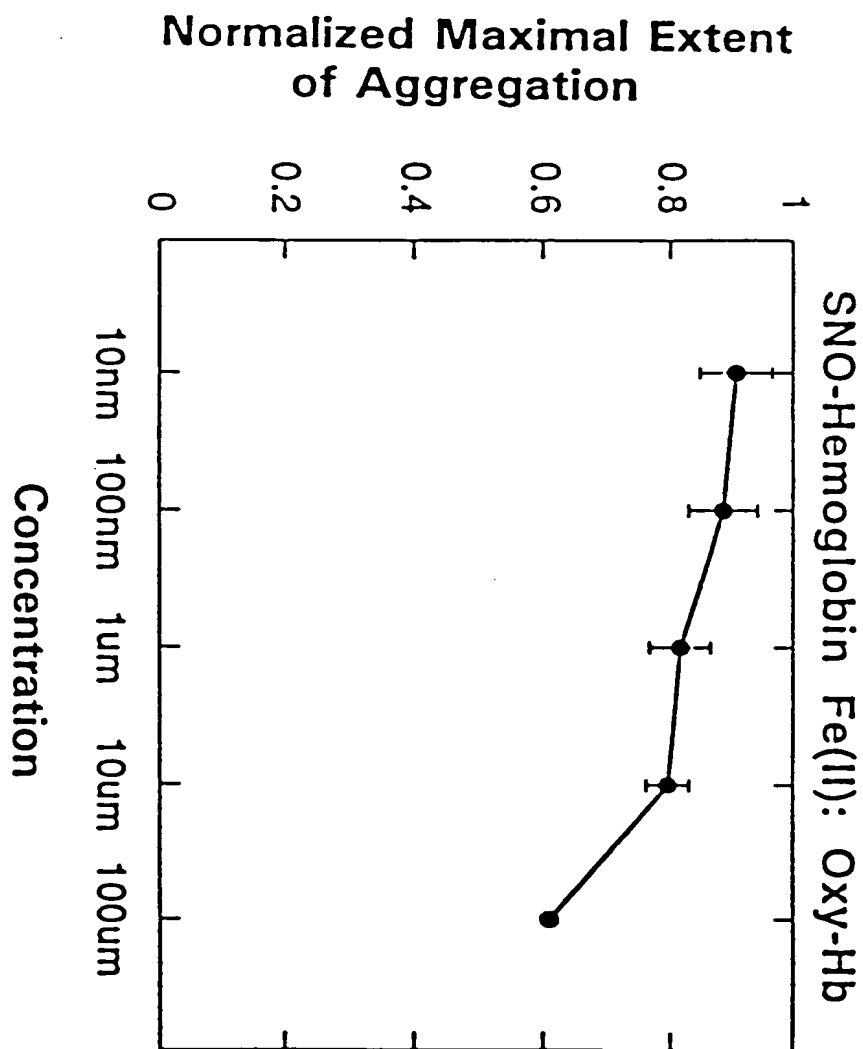


FIG. 7B

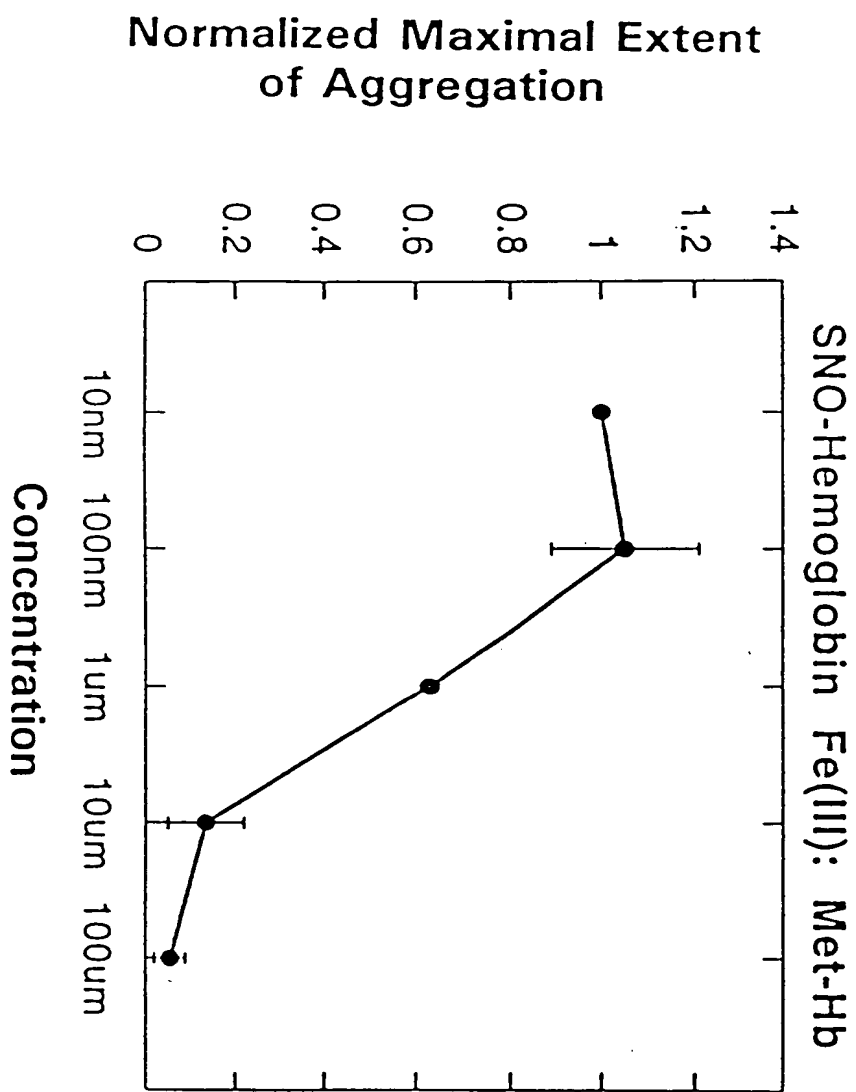


FIG. 7C

(cGMP) Under the Effect of Various Types of Hemoglobin

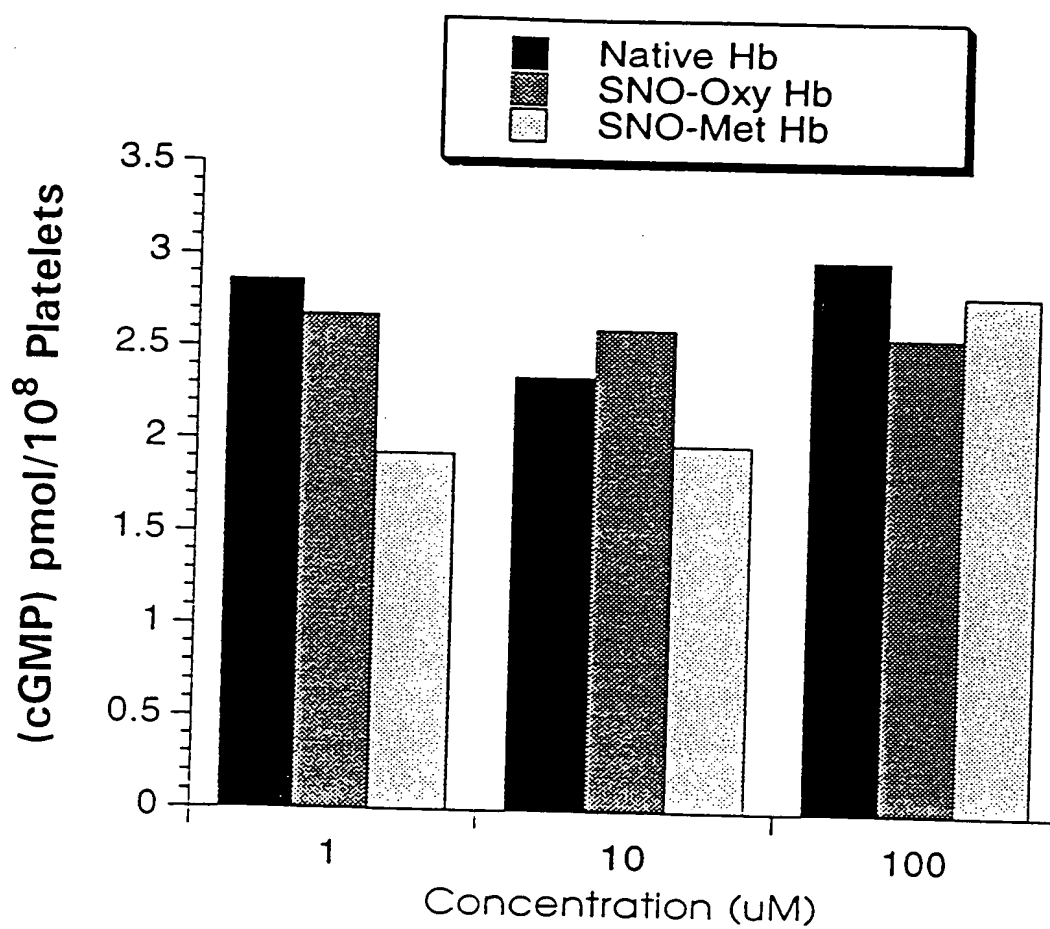


FIG. 8

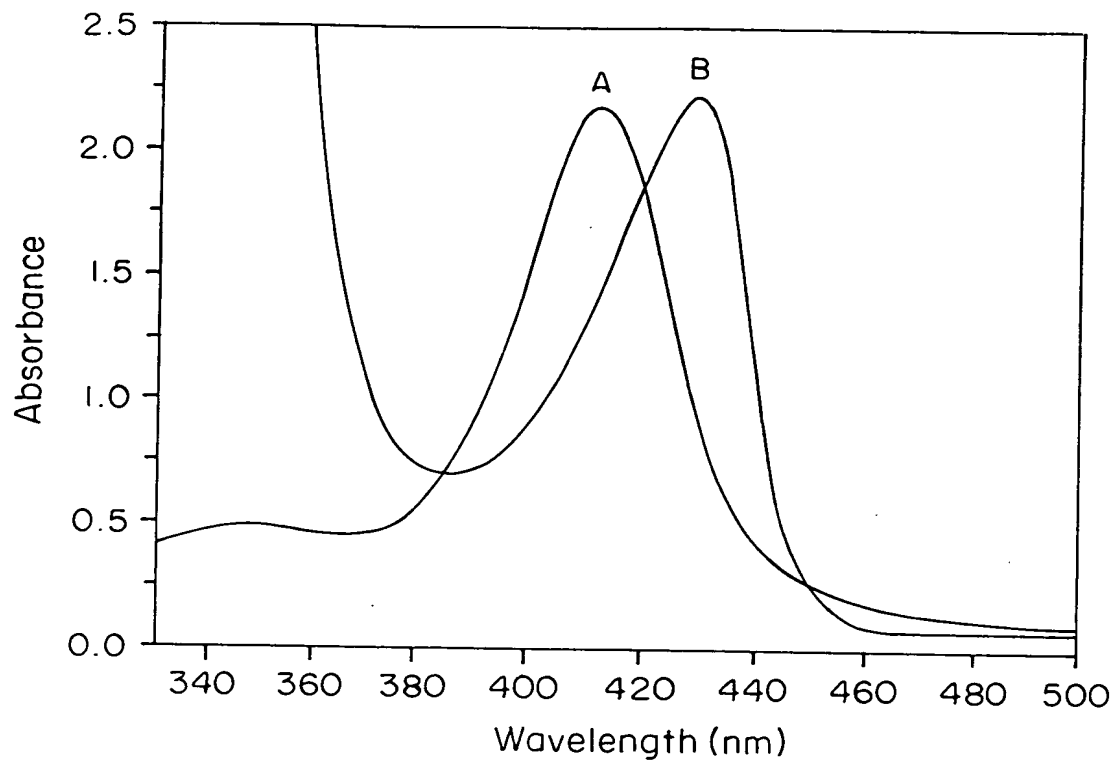


FIG. 9A

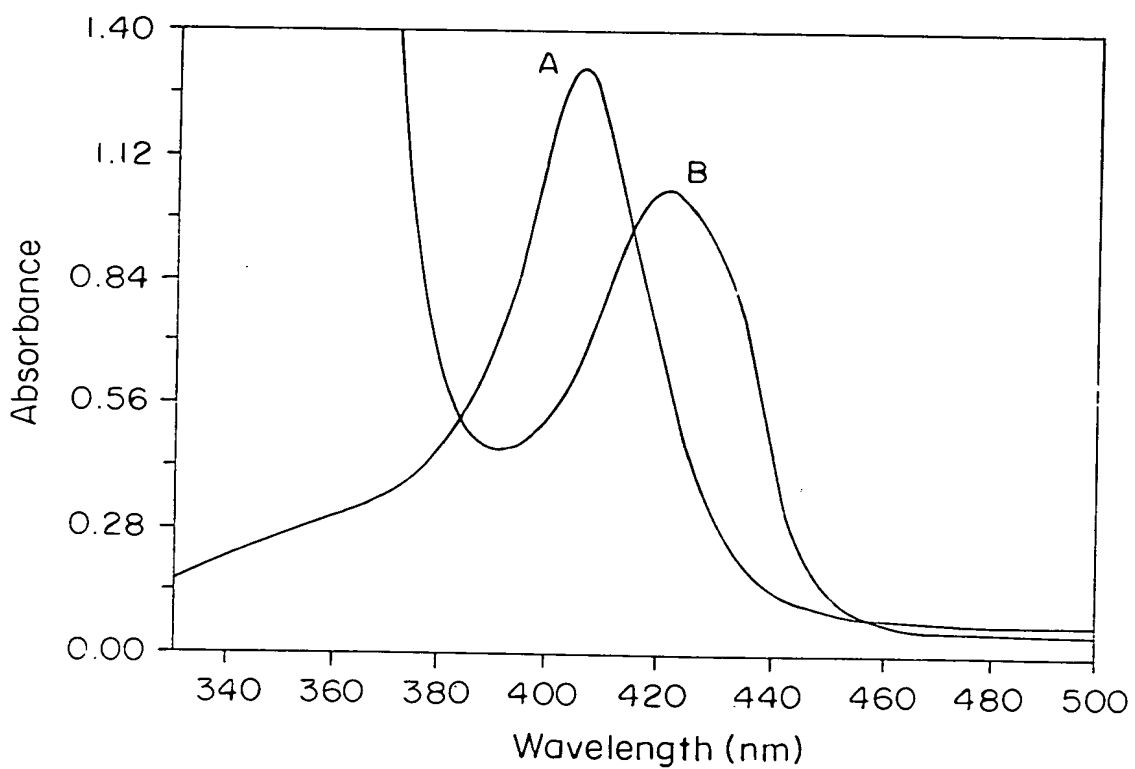


FIG. 9B

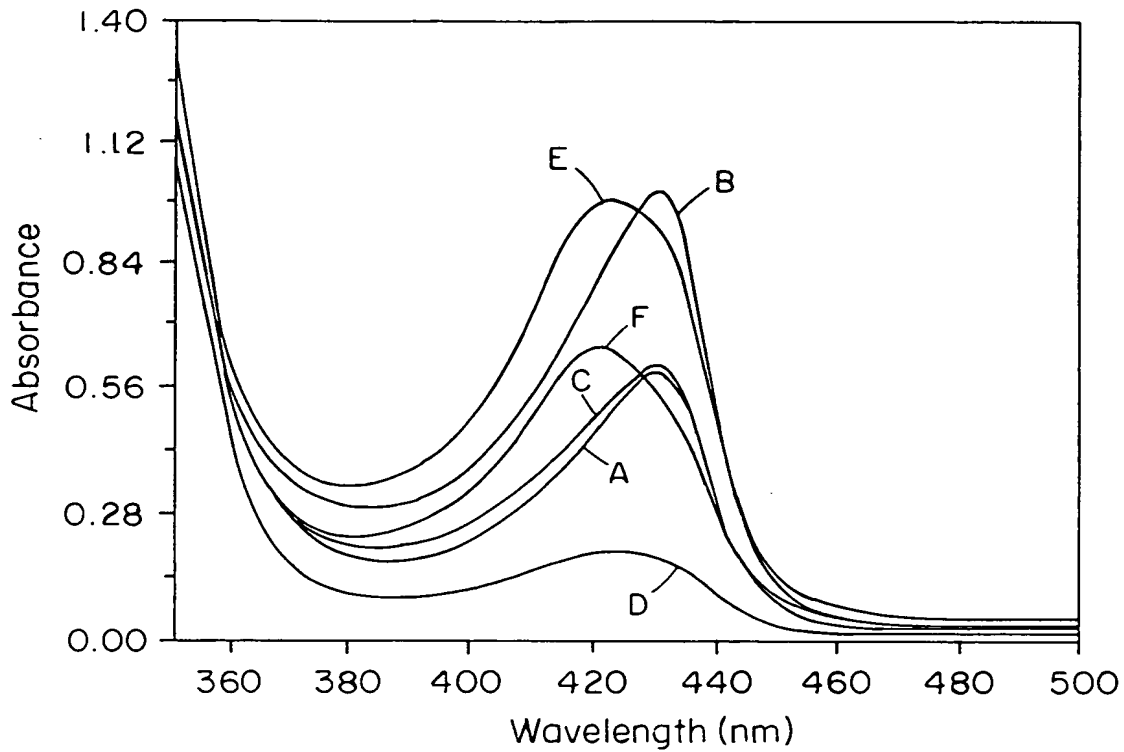


FIG. 9C

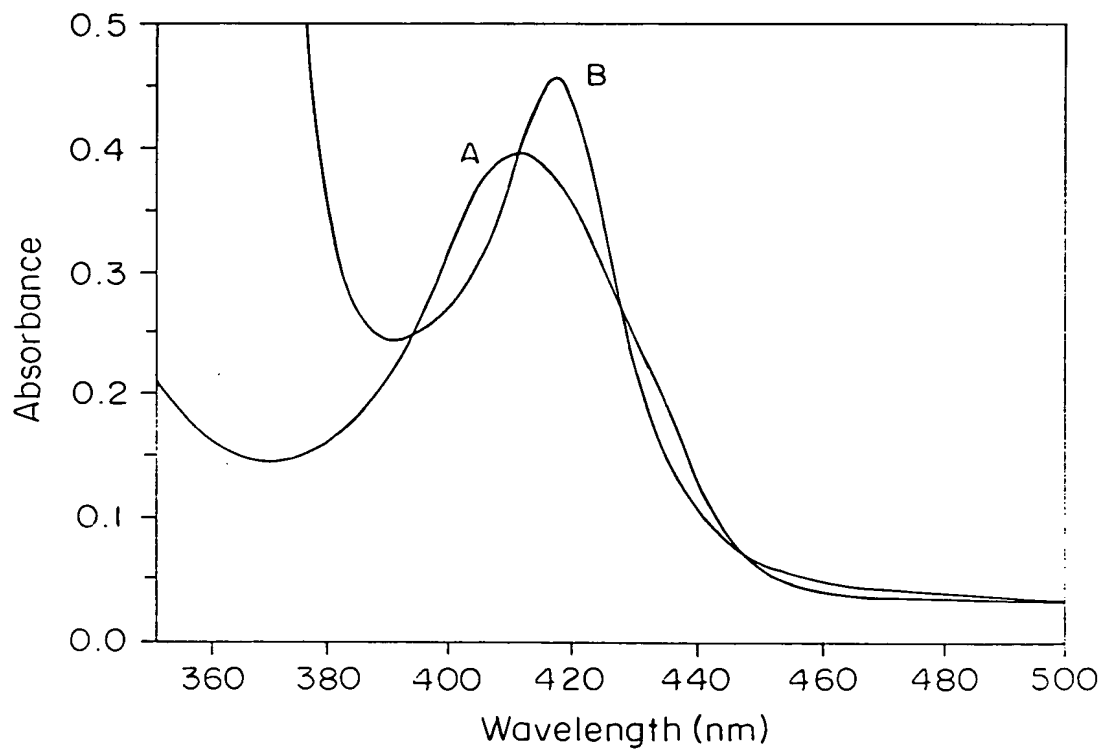


FIG. 9D

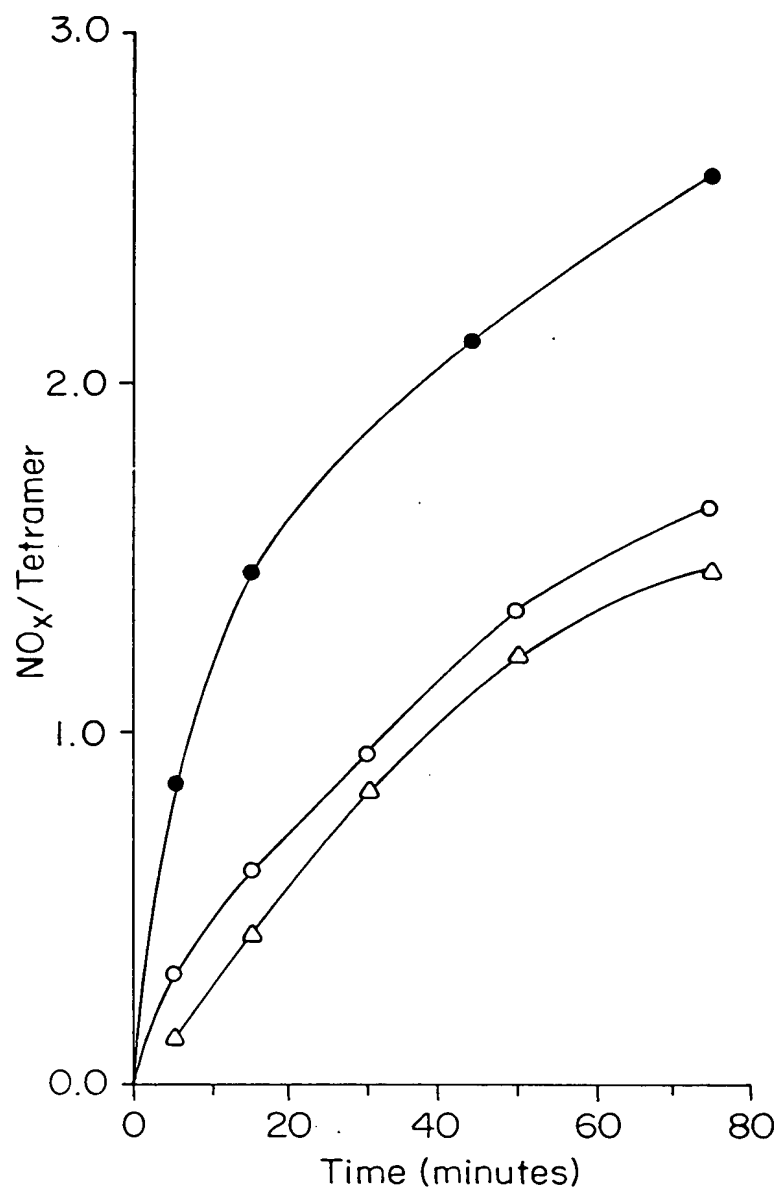


FIG. 9E

Change in Blood Flow in Rat Caudatoputamen Nucleus
after Injecting SNO-Hb to Rats Breathing in 21% O₂

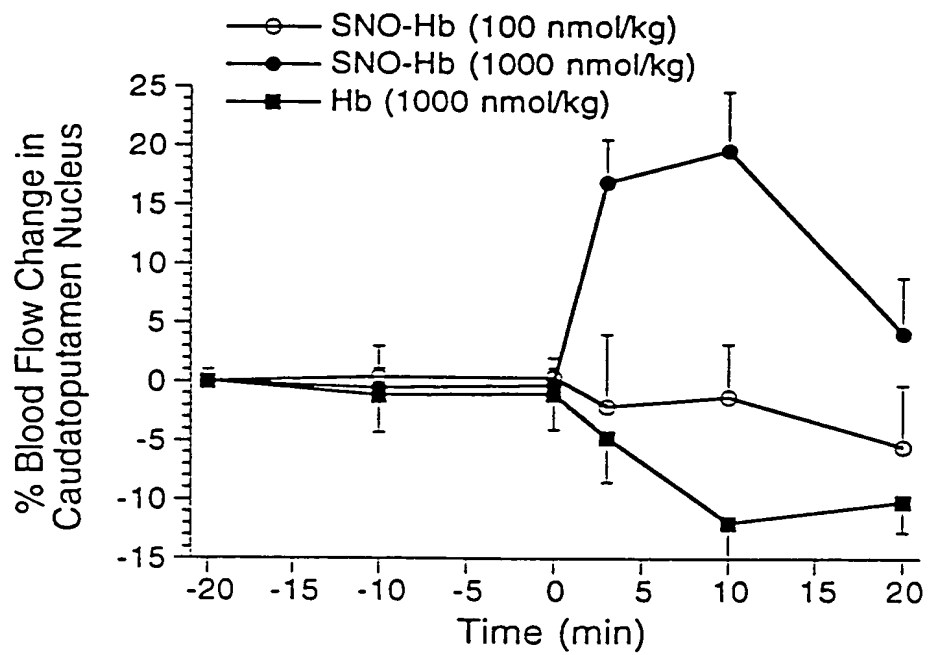


FIG. 10

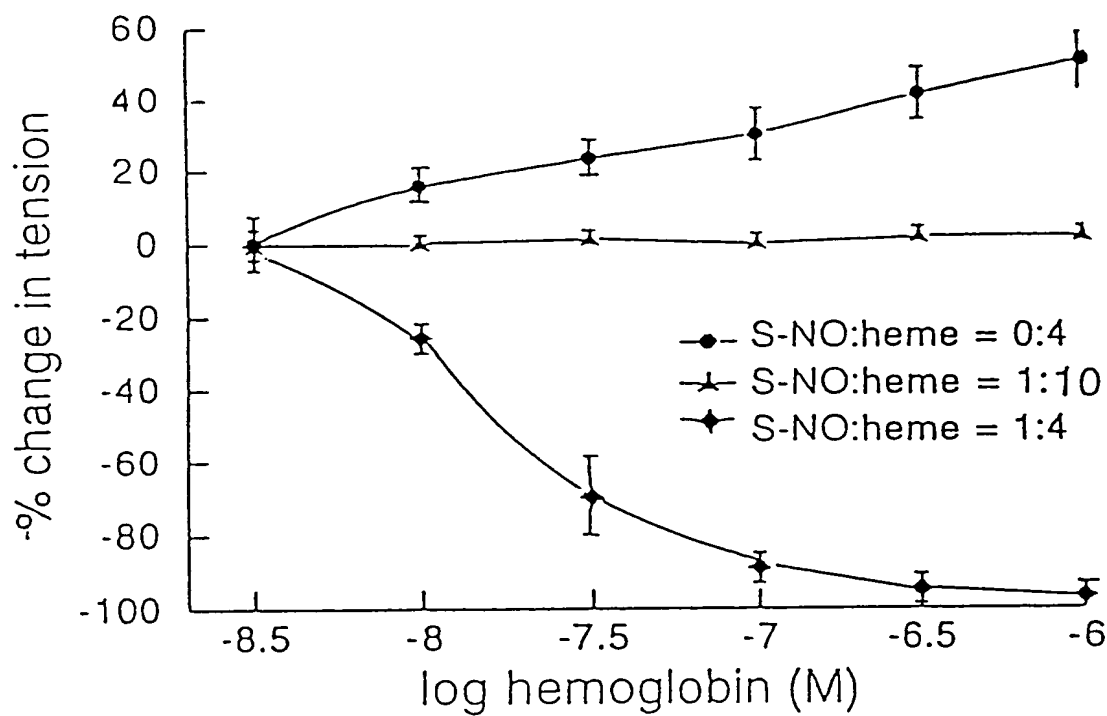
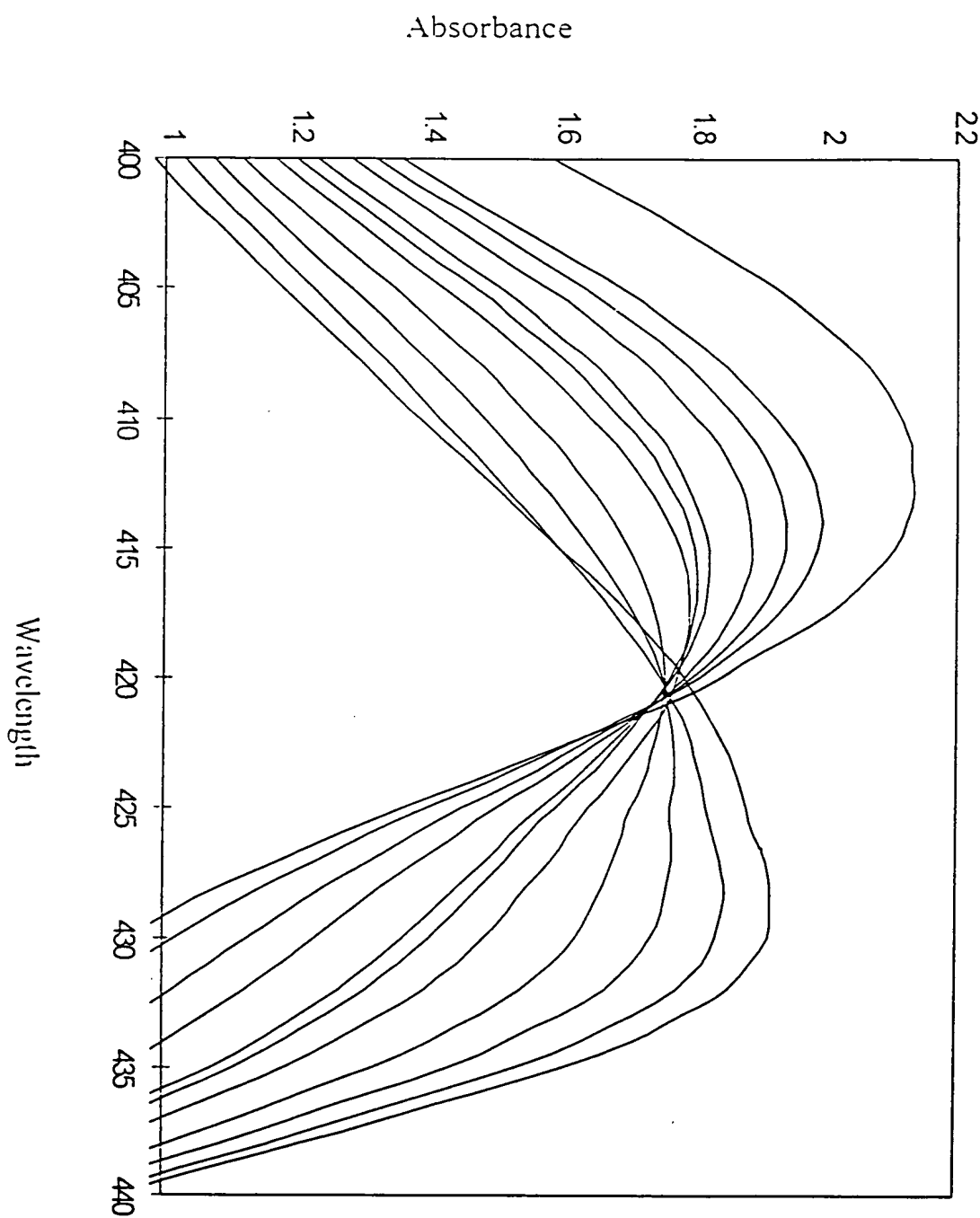


FIG. 11

FIG. 12



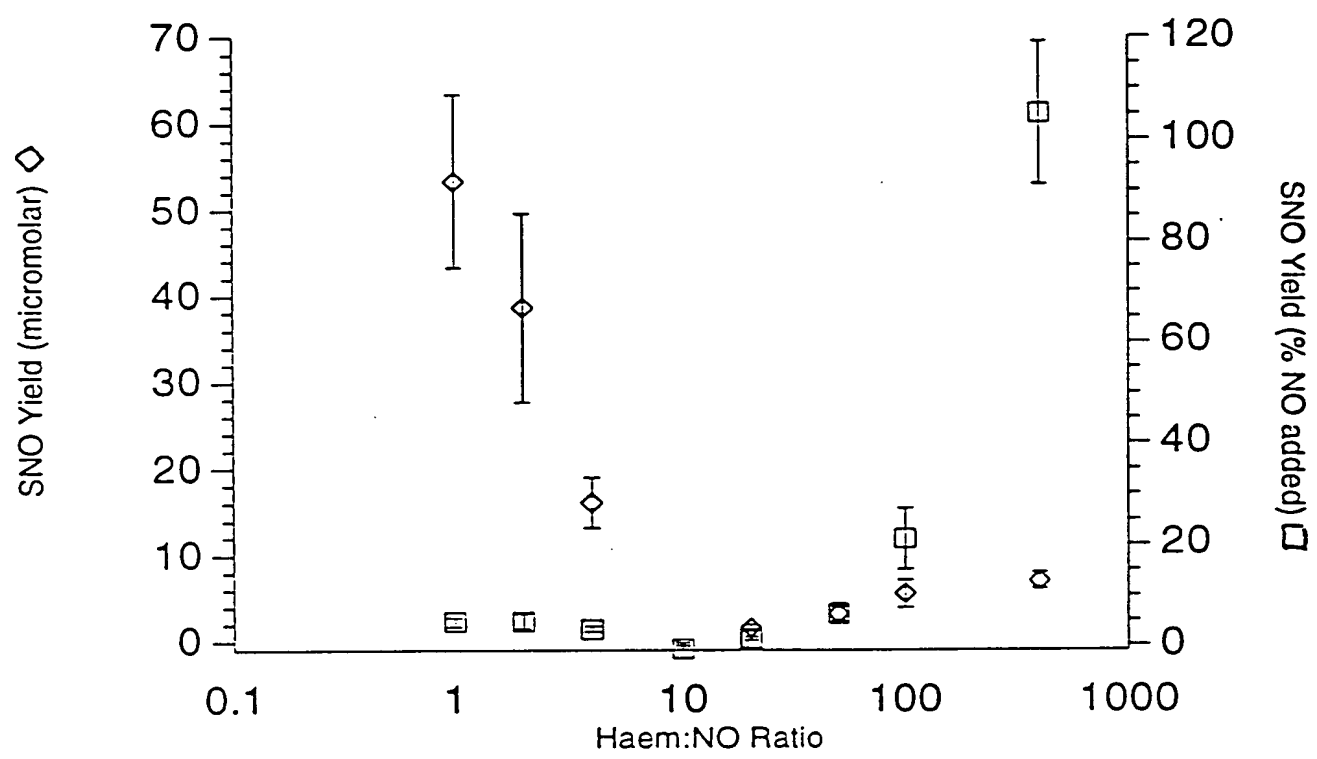


FIG. 13

FIG. 14A

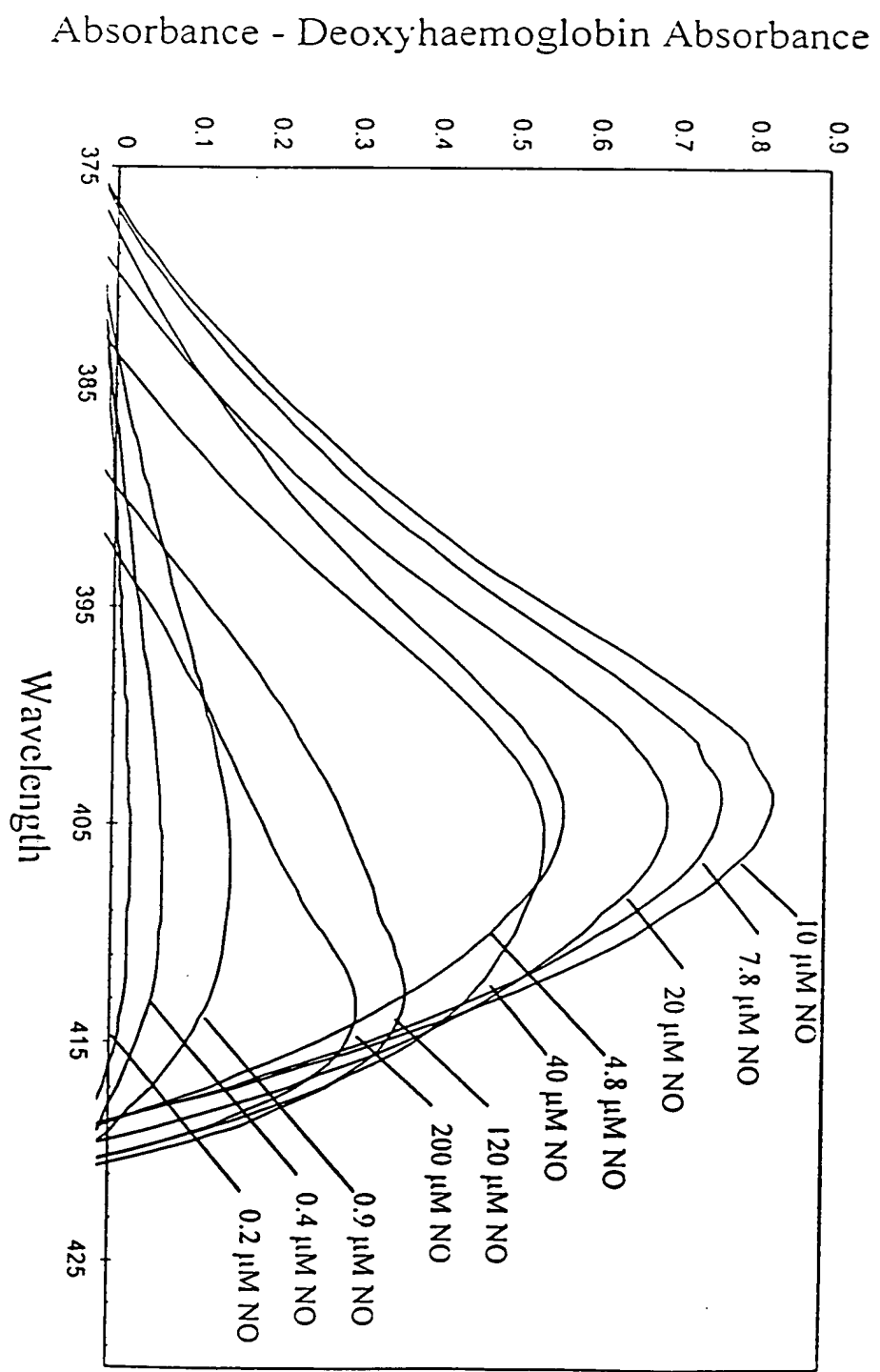


FIG. 14B

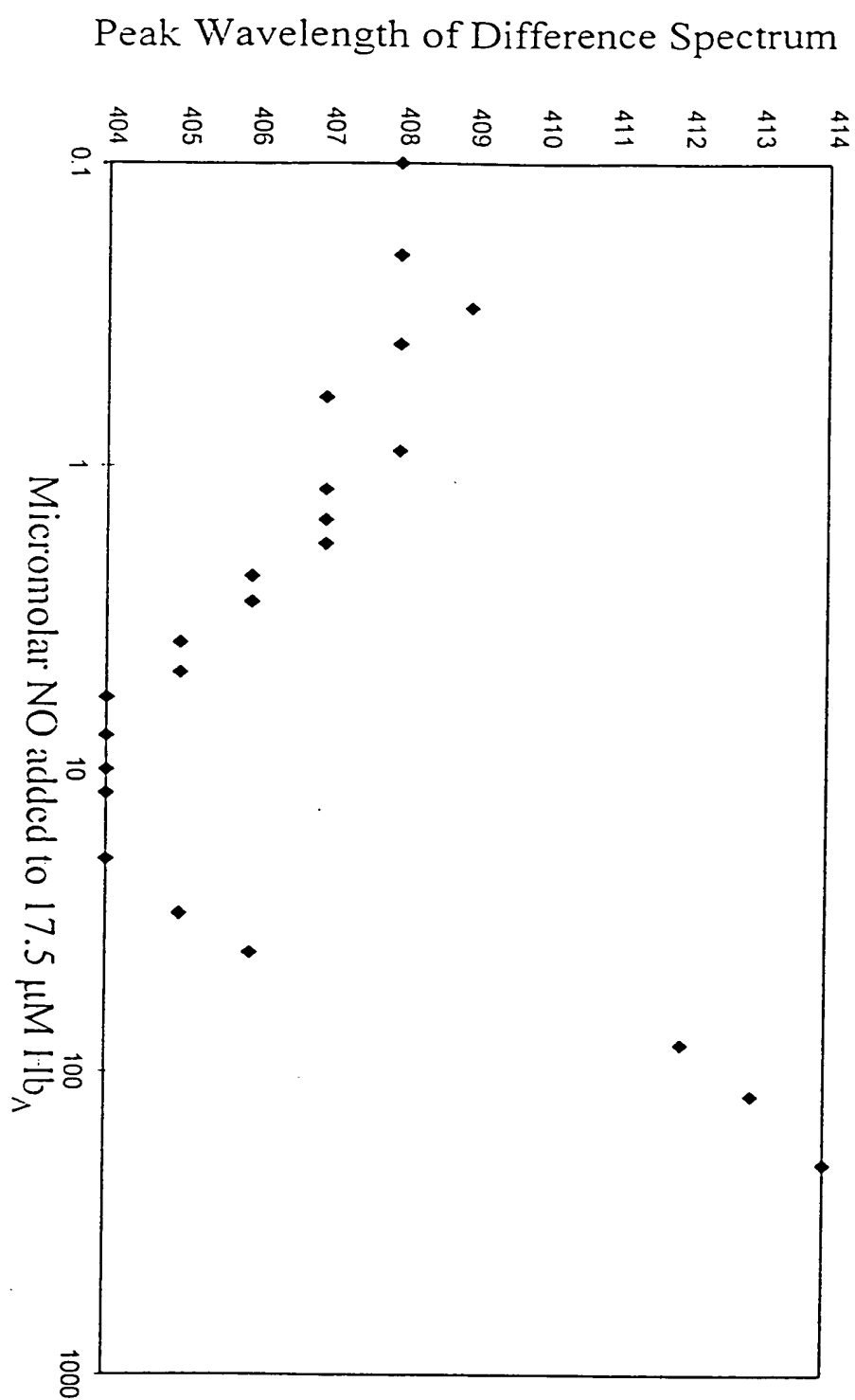


FIG. 15A

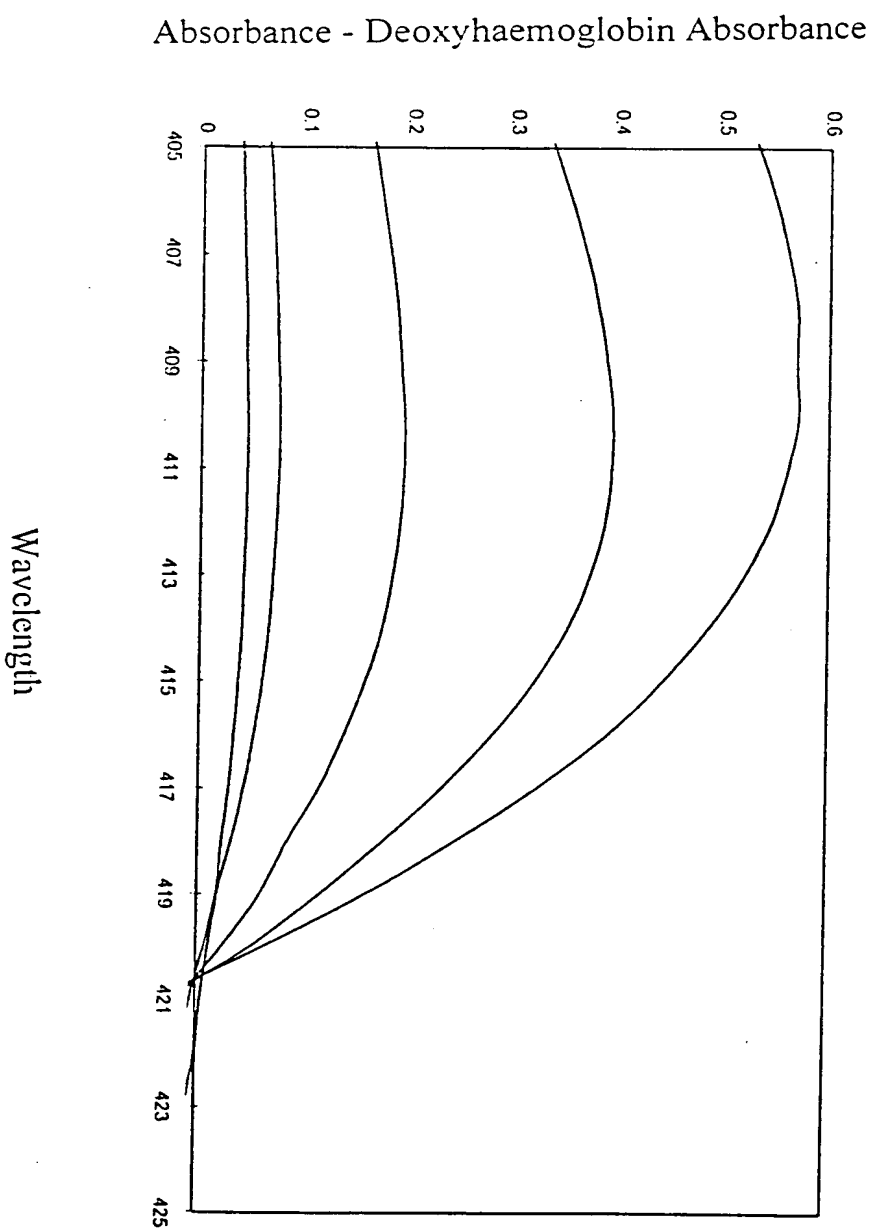


FIG. 15B

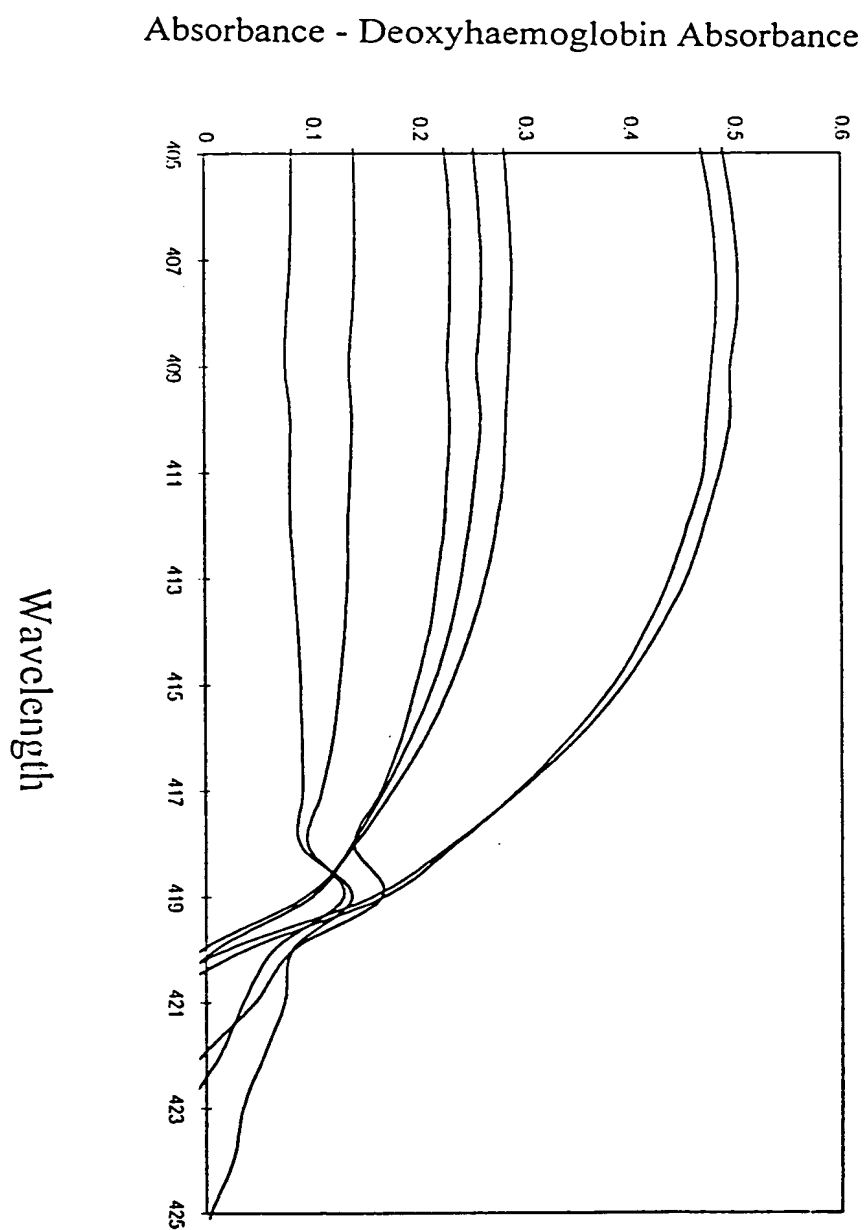
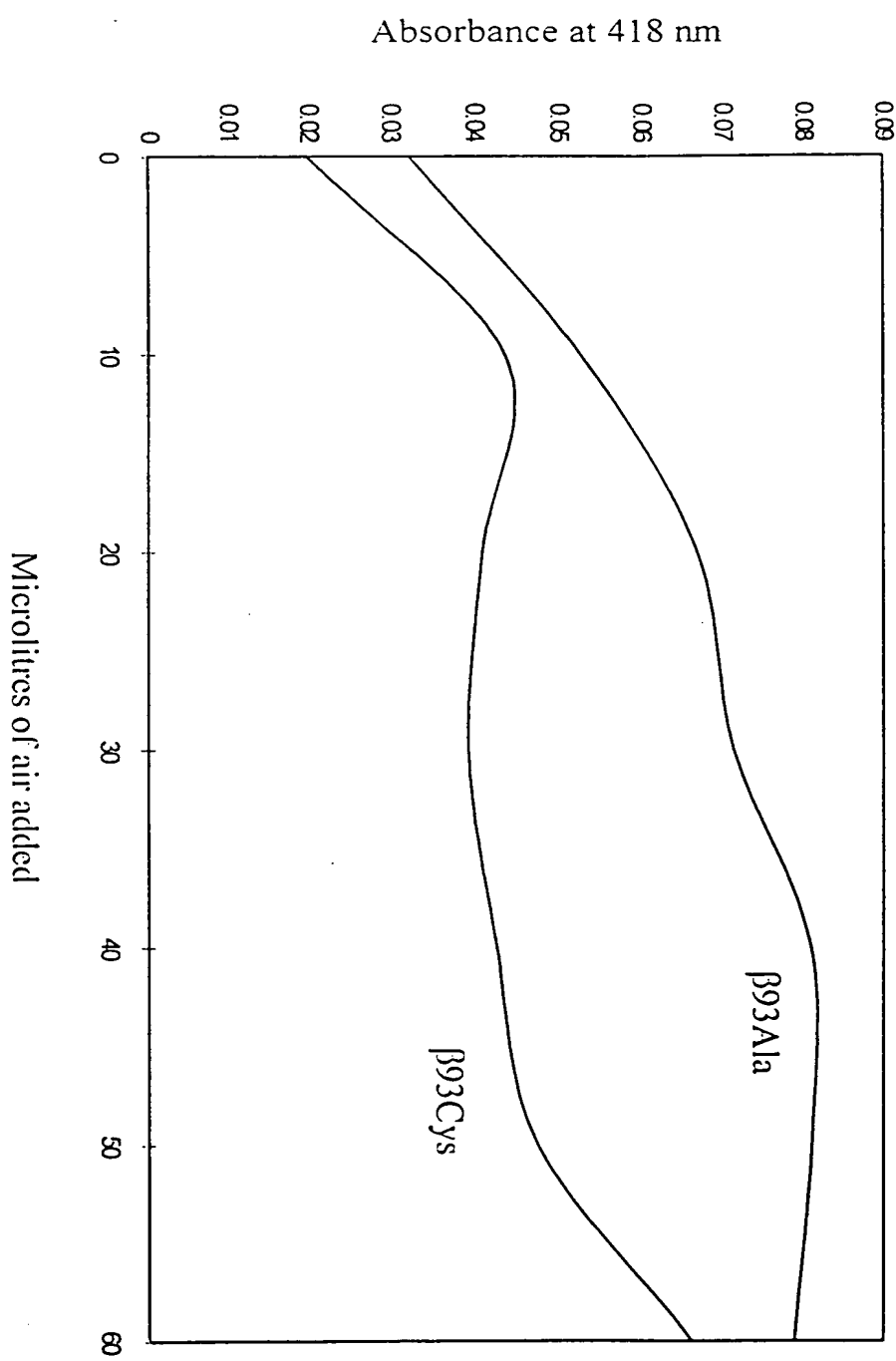


FIG. 16



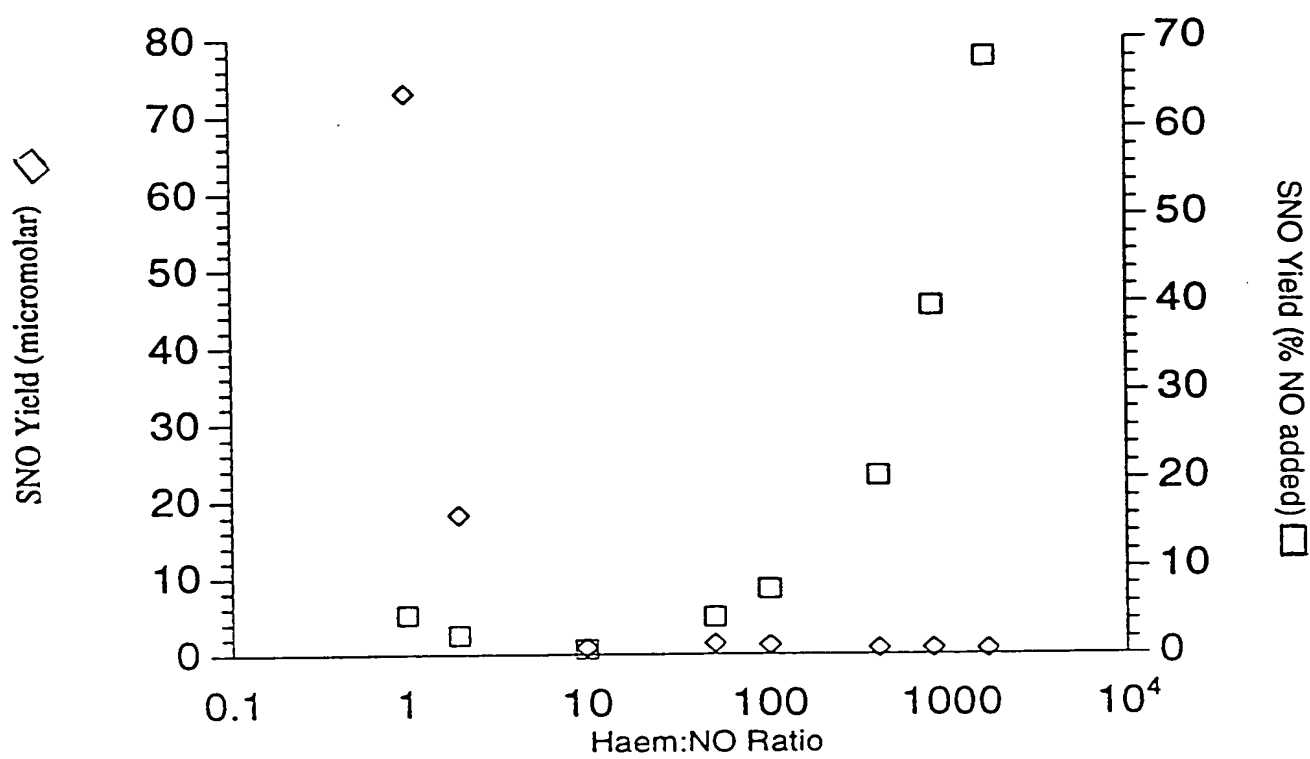


FIG. 17

FIG. 18A

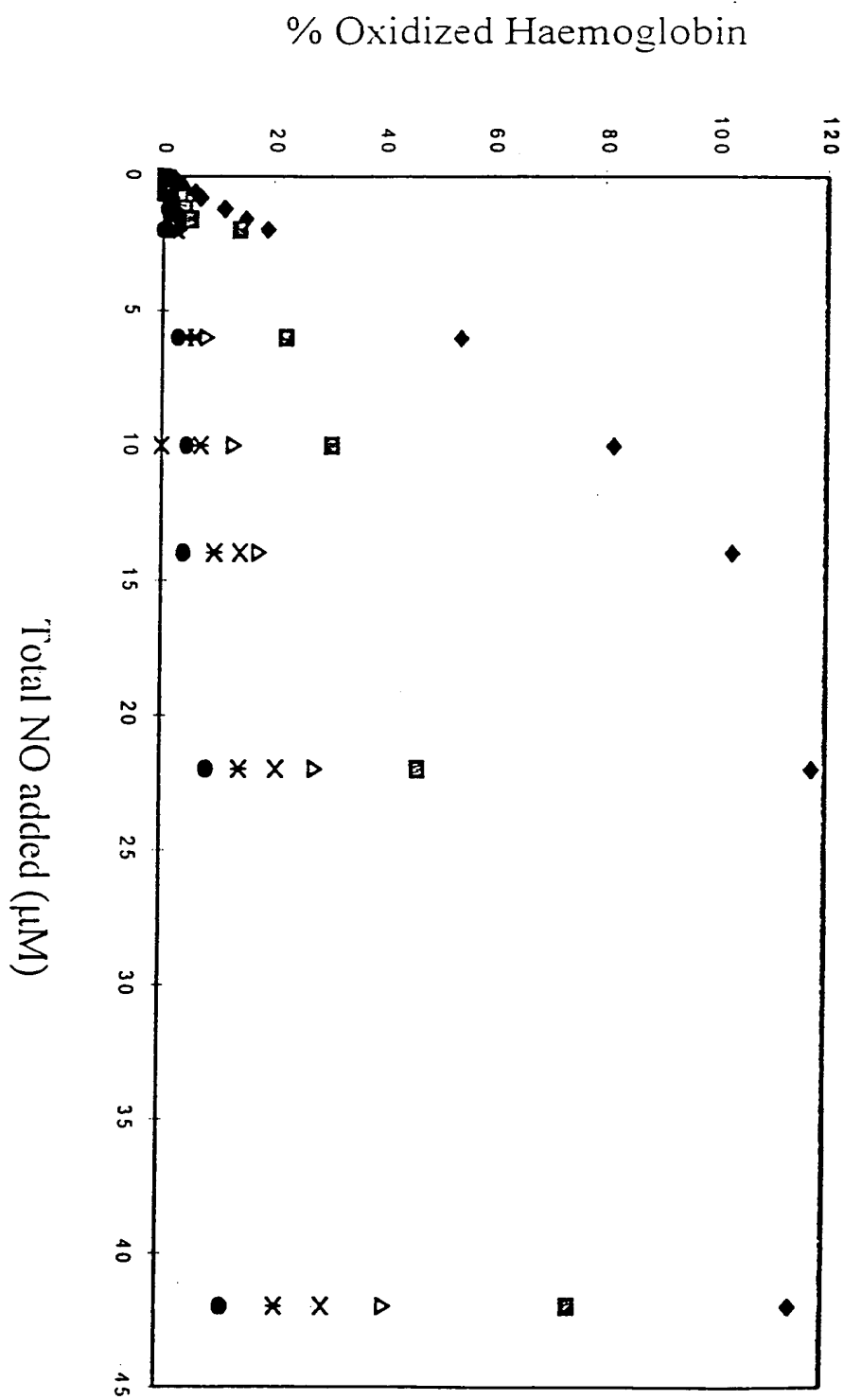


FIG. 18B

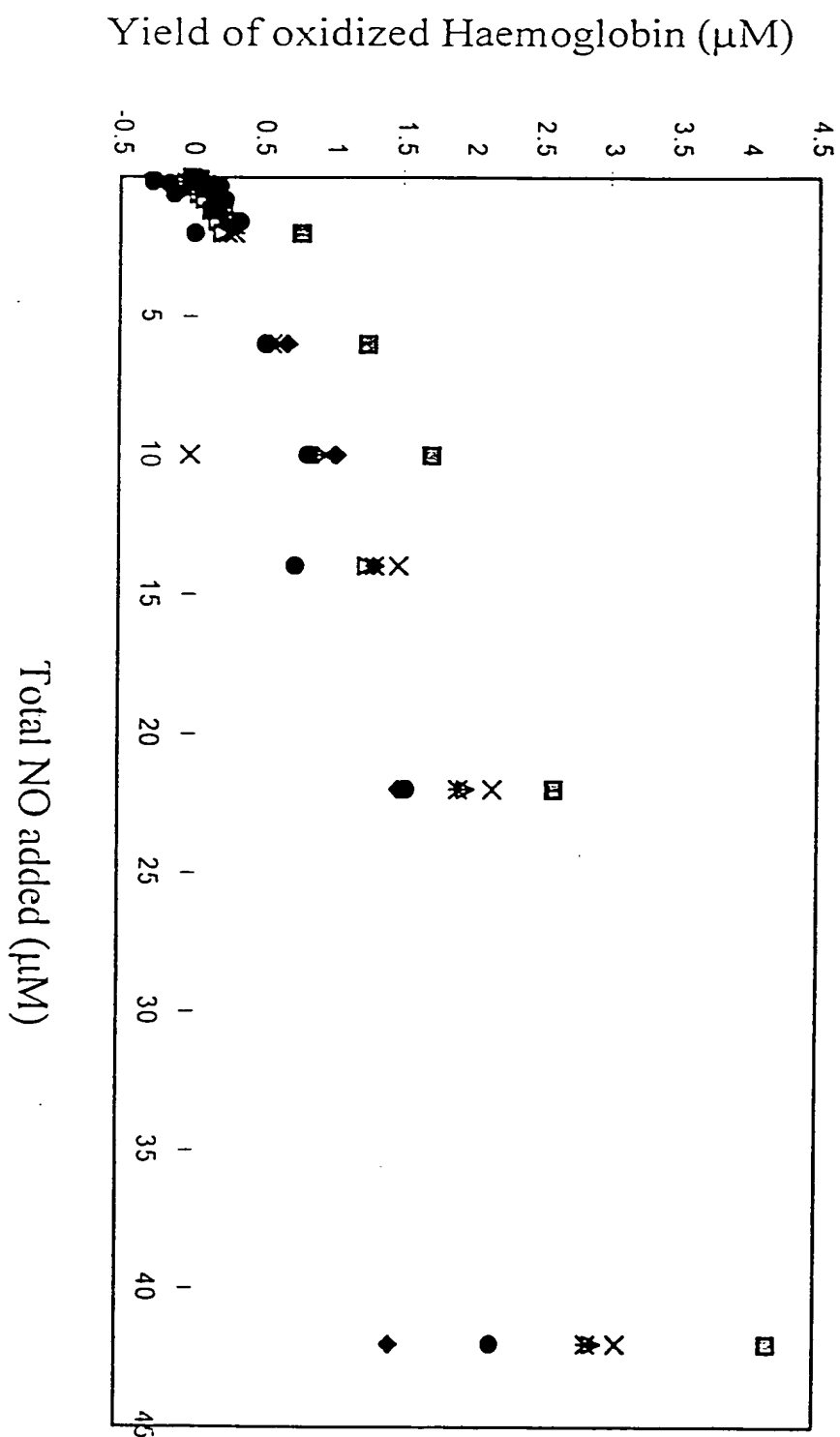


FIG. 19

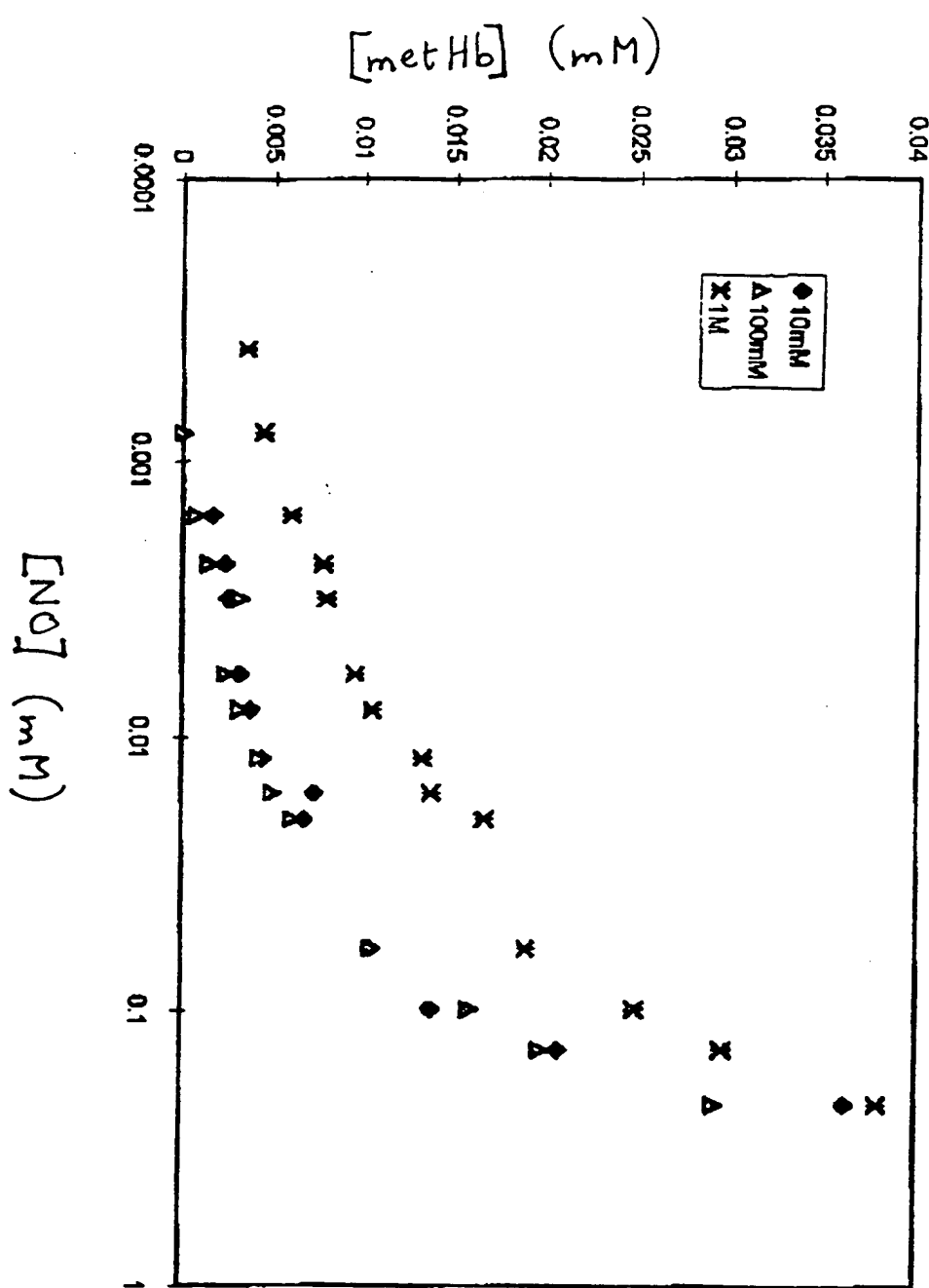
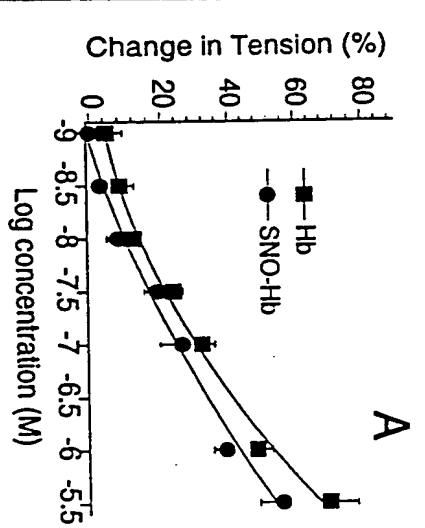
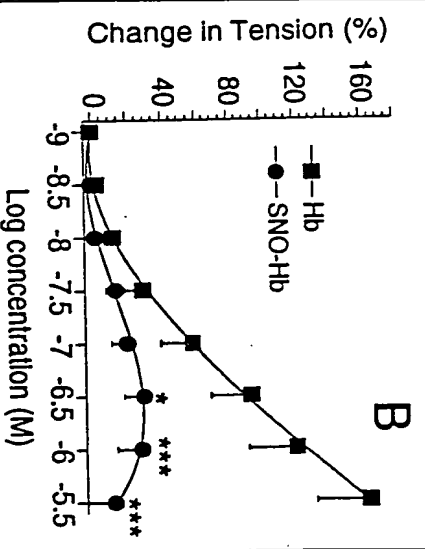


FIG. 20A



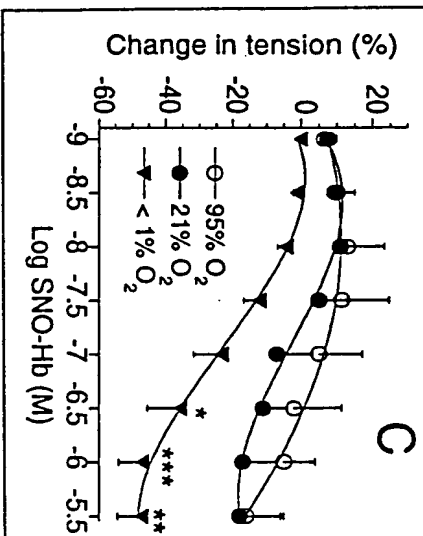
A

FIG. 20B



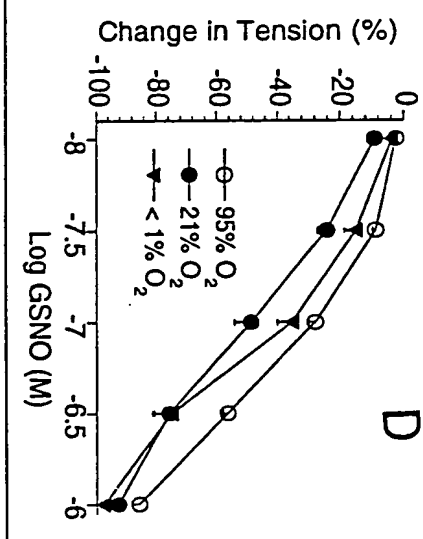
B

FIG. 20C



C

FIG. 20D



D

FIG. 21A

FIG. 21B

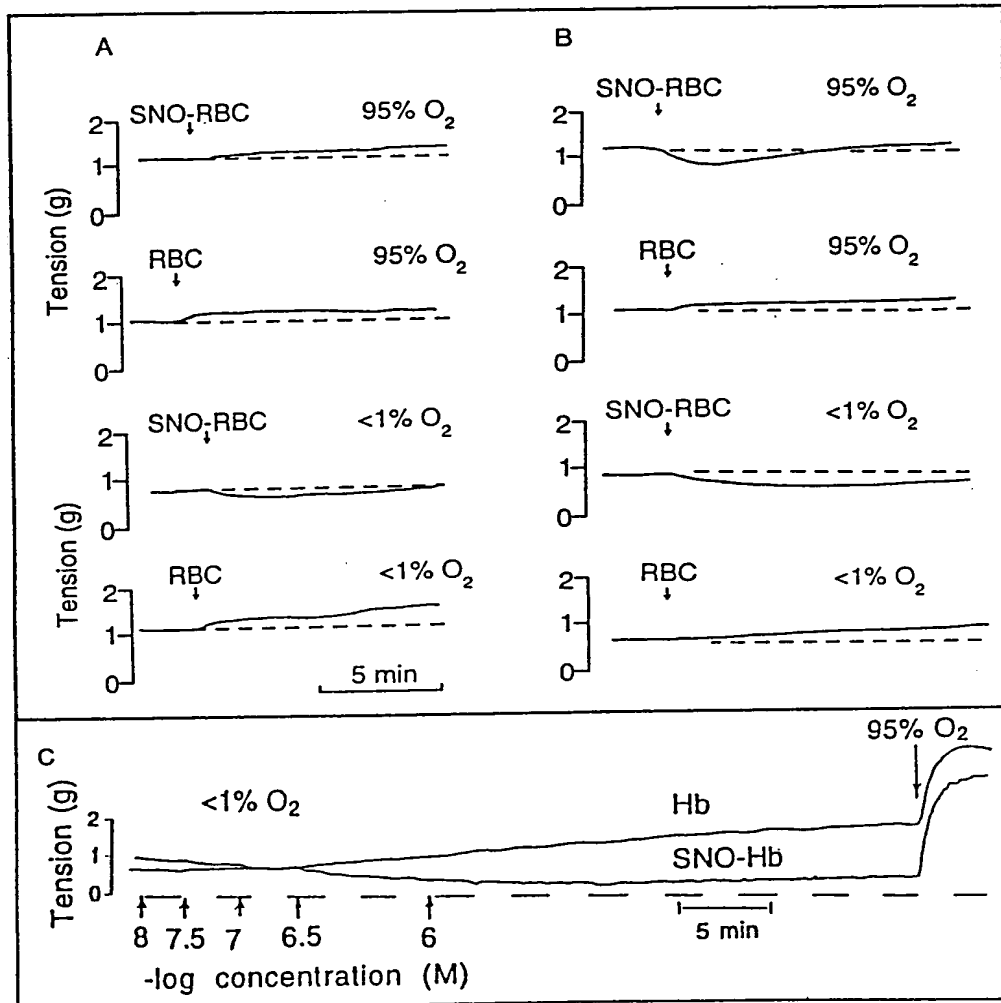
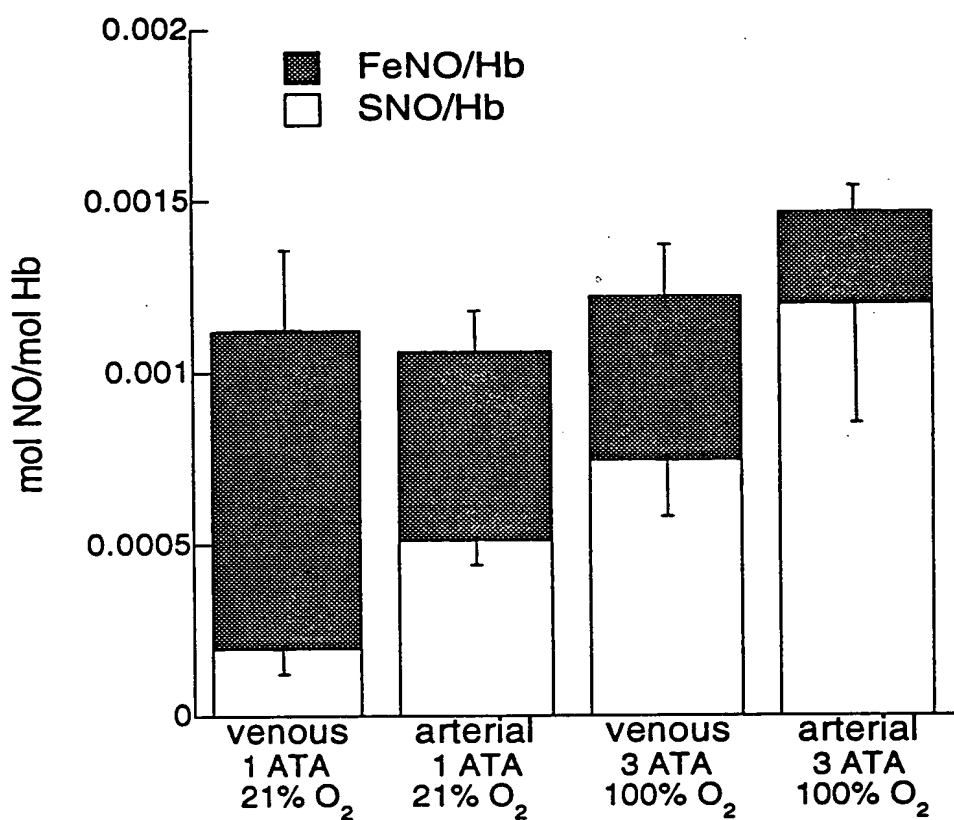
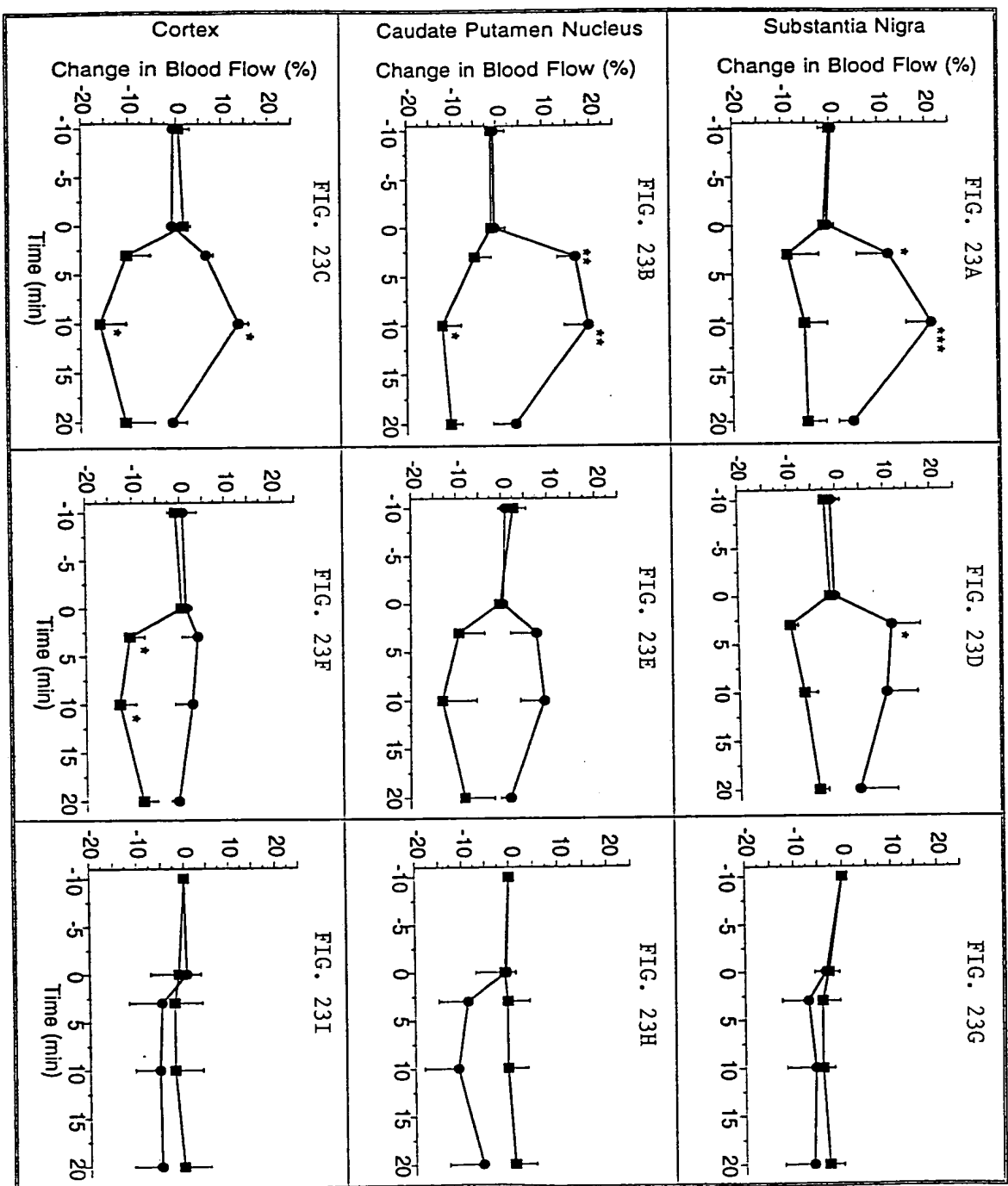


FIG. 21C

FIG. 22





卷之三

FIG. 24A

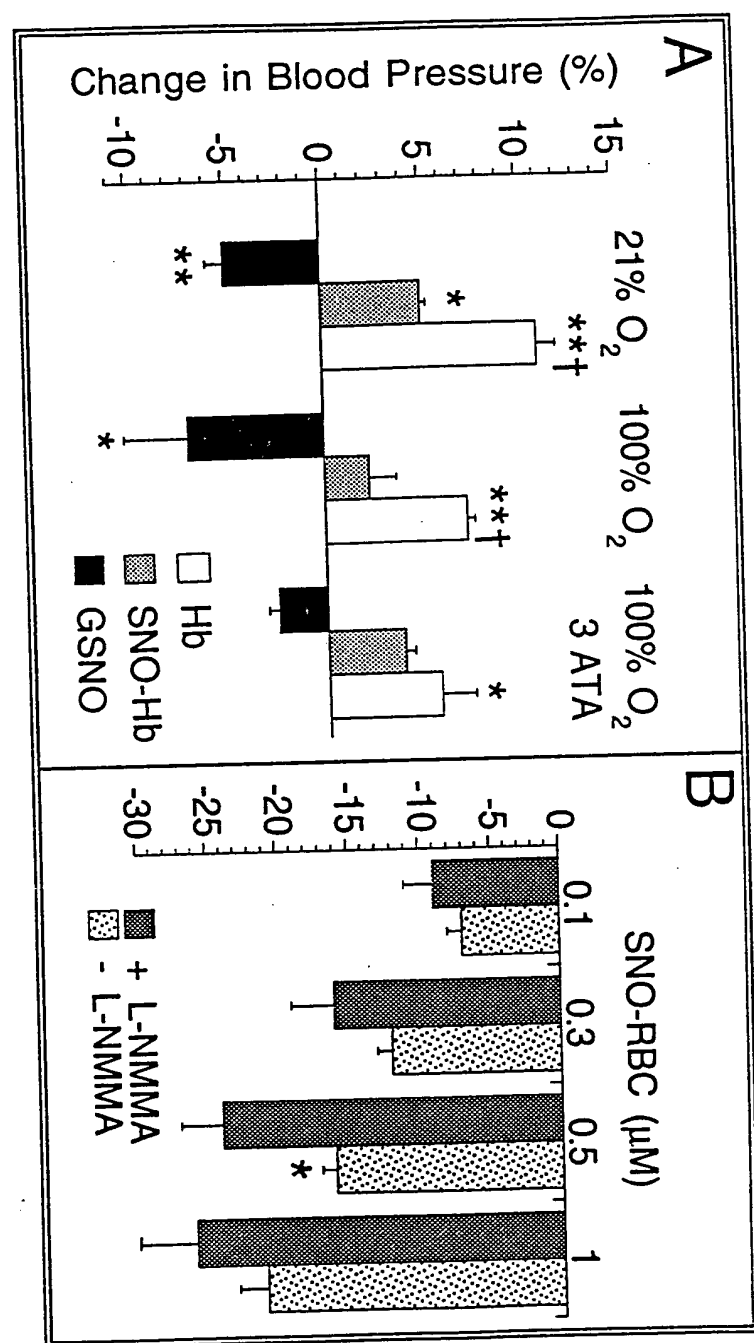


FIG. 24B